# LAVORAZIONI PER DEFORMAZIONE PLASTICA

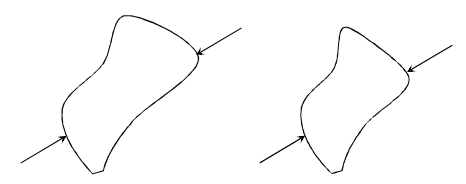
### Tratto da:

- Ceretti E., Maccarini G.; Plasticità e Lavorazioni per Deformazione Plastica; Università degli Studi di Brescia (Capitolo 3)
- Santochi M., Giusti F.; Tecnologia Meccanica; Casa Editrice Ambrosiana (Capitolo 5)

1

# **DEFORMAZIONE PLASTICA**

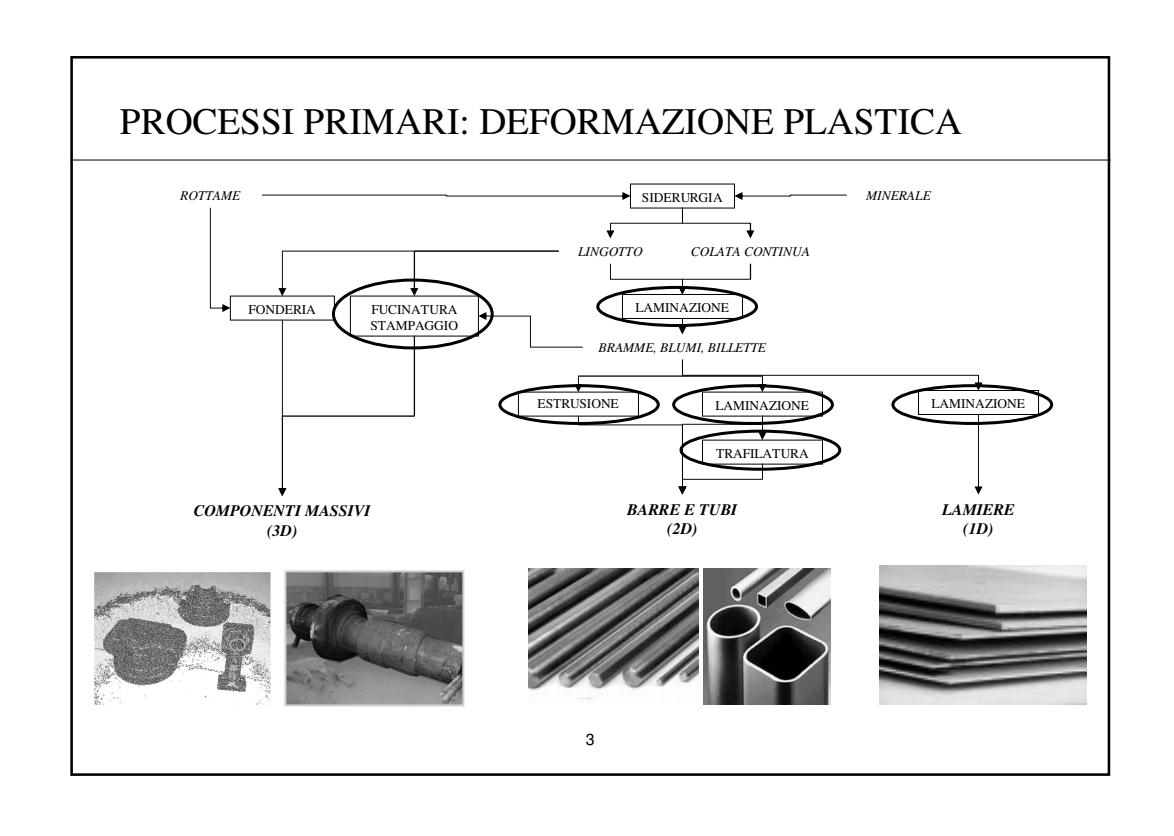
L'idea di base è deformare un materiale attraverso un'opportuna applicazione di un campo di forze per ottenere la geometria (macro e micro) desiderata.

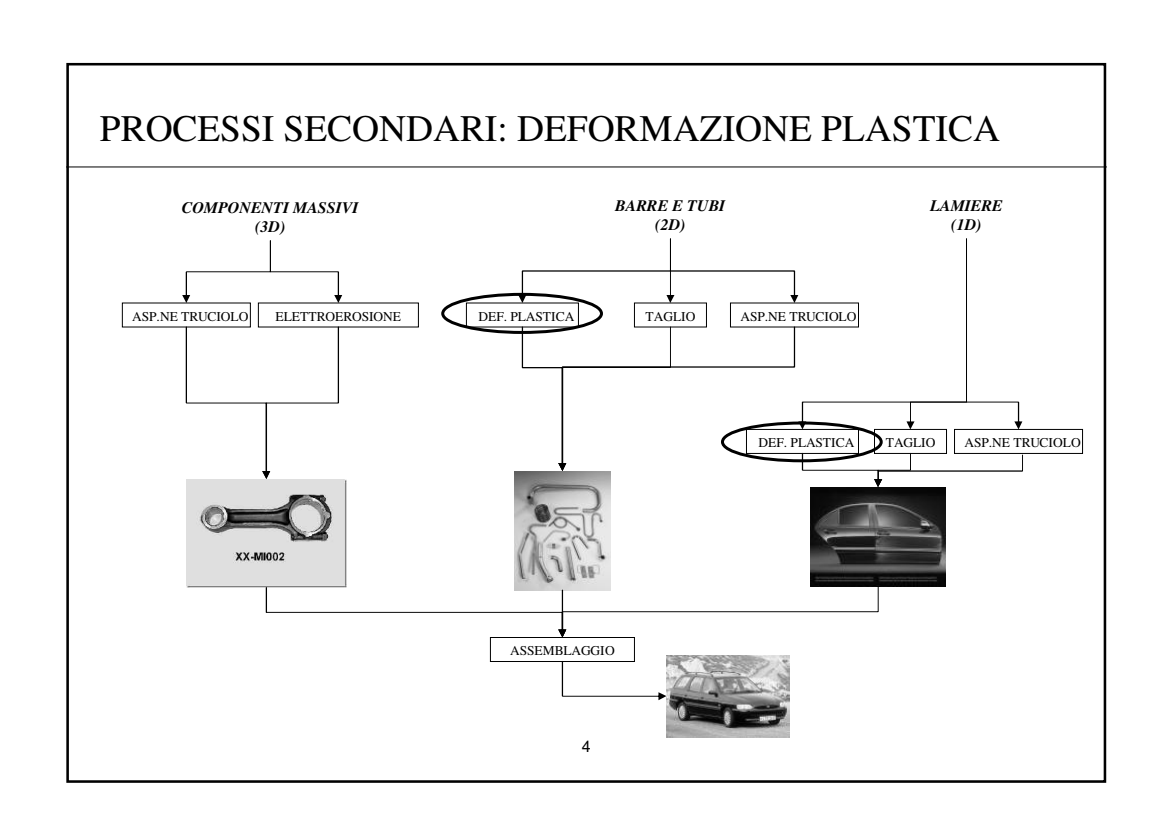


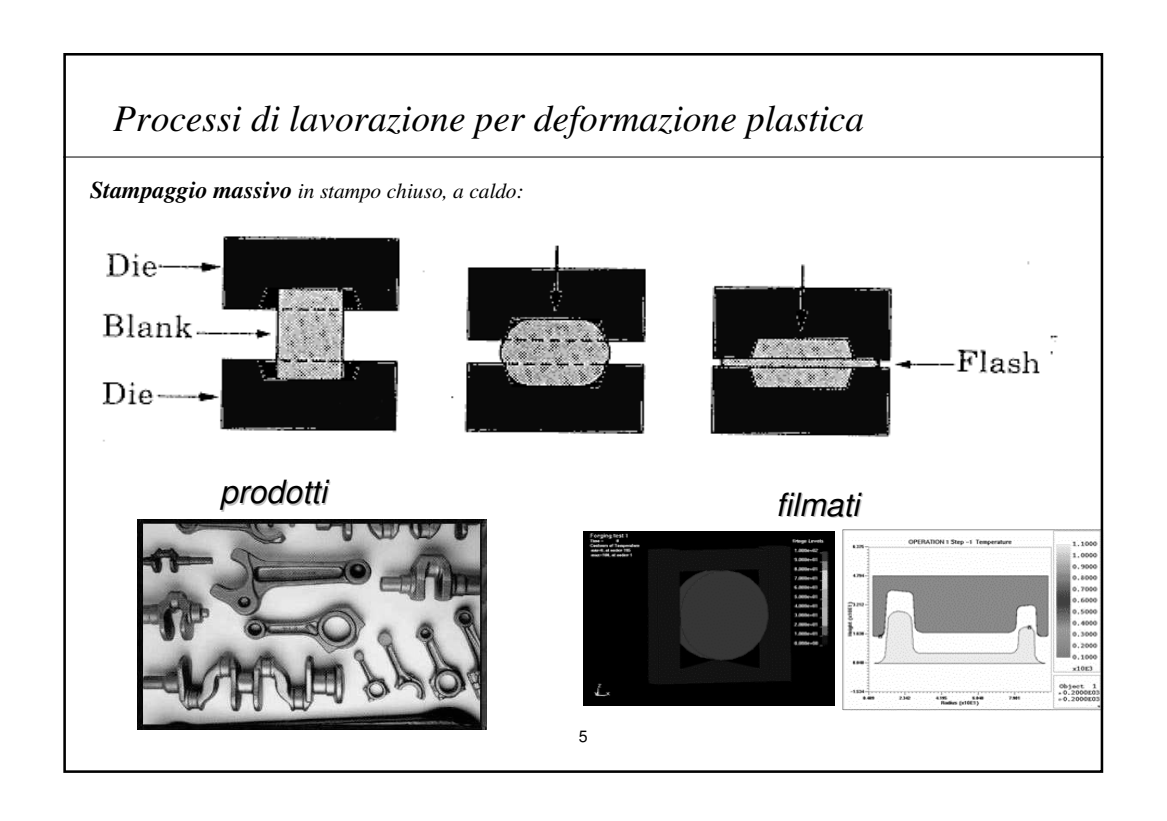
E' un tipo di lavorazione molto diffusa in ambito industriale.

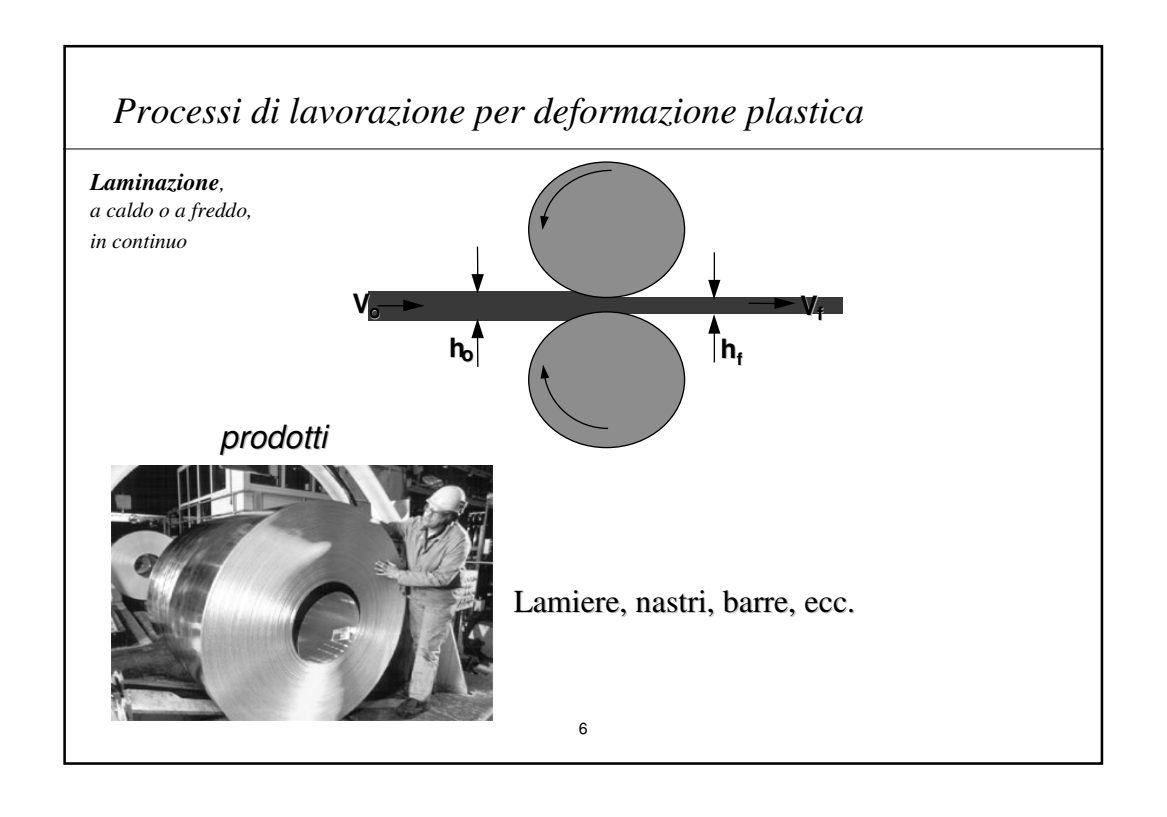
**Definizione**: classe di processi che ottengono la modifica della forma di un semilavorato o di un grezzo, applicandovi un sistema di forze in grado di causarne deformazione plastica, cioè permanente

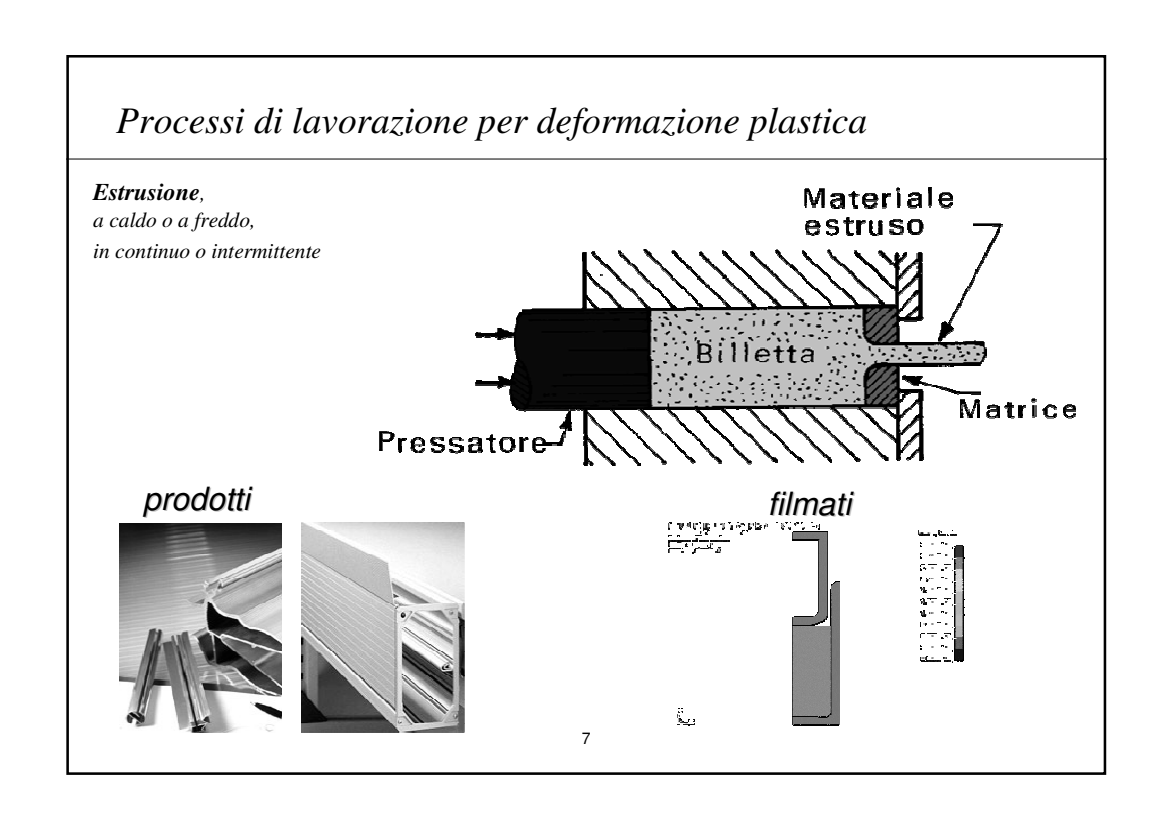
 Le lavorazioni per deformazione plastica sono un processo tipico dei materiali metallici (e dei materiali polimerici termoplastici)

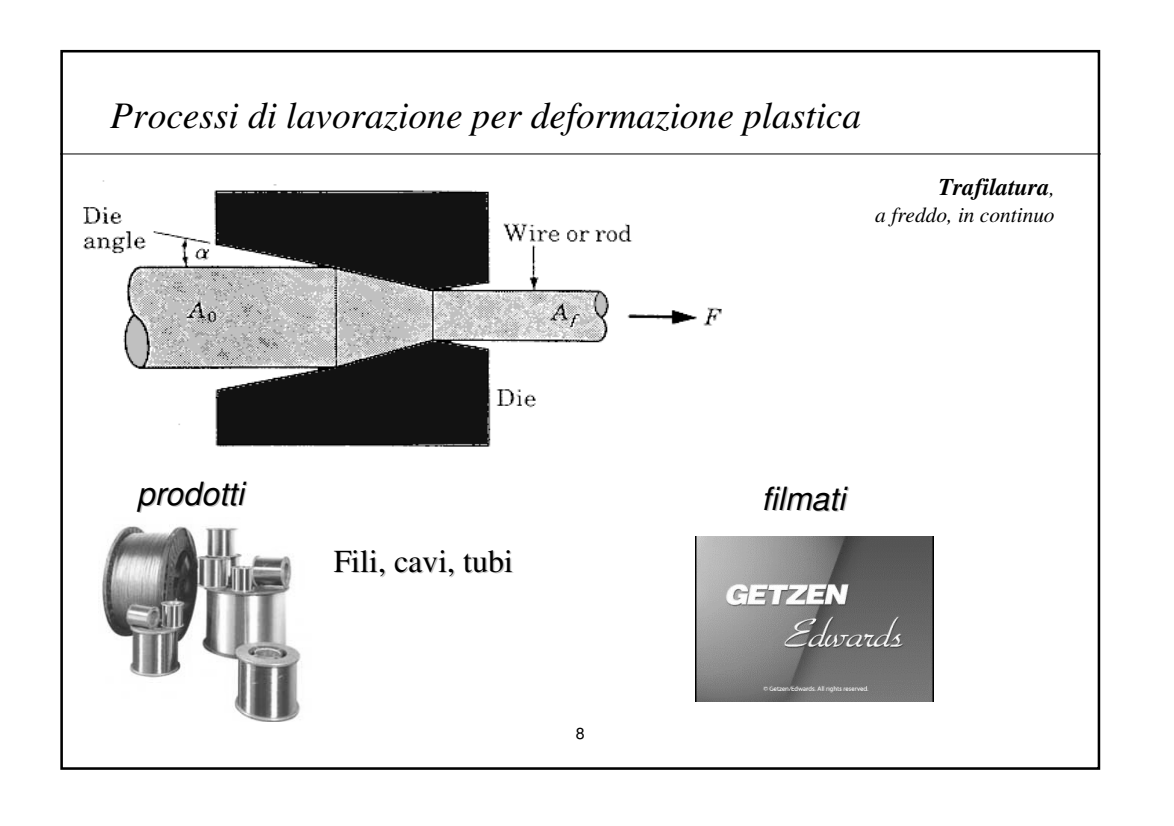


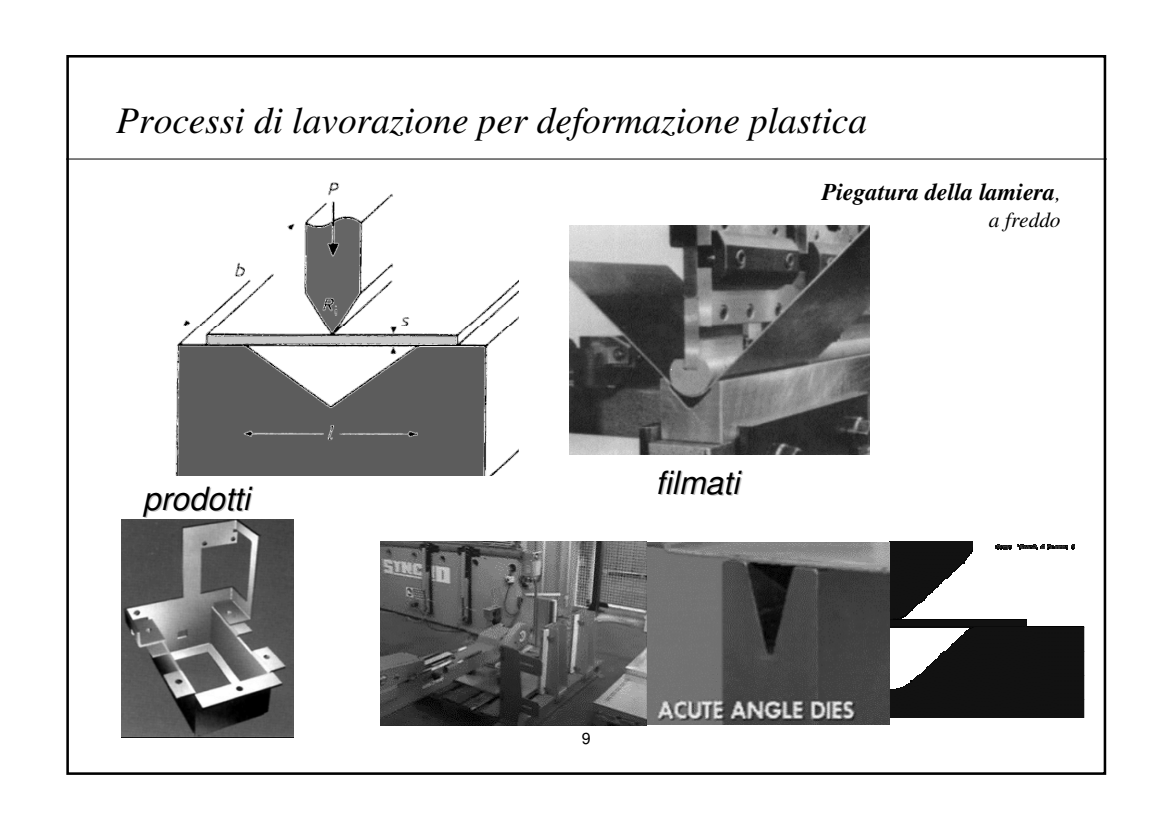


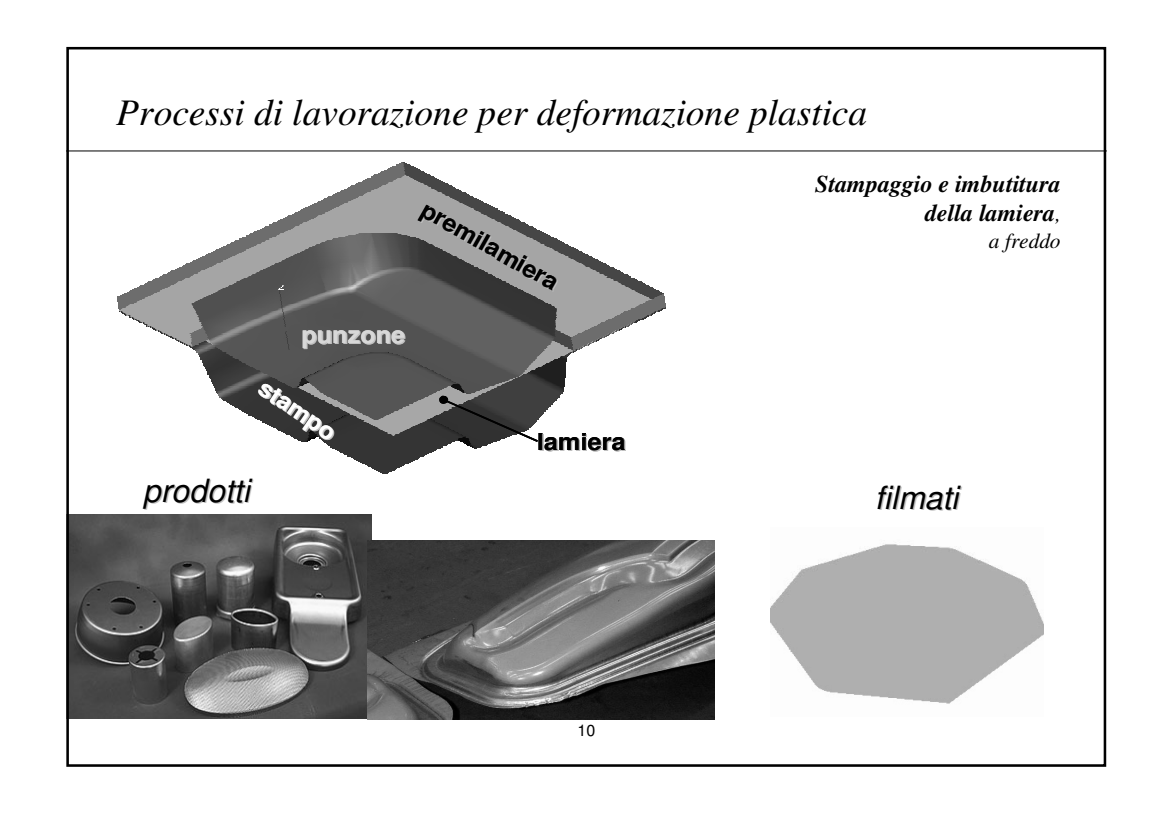












# Processi di lavorazione per deformazione plastica

# Criteri di classificazione

- 1. Stazionari o evolutivi
  - Estrusione
- Stampaggio
- Trafilatura
- Imbutitura
- Laminazione
- 2. A caldo o a freddo
  - EstrusioneStampaggio
- Imbutitura Trafilatura
- Laminazione
- Laminazione
- 3. Di spessori sottili (tubi e lamiere)
- o massivi

• Imbutitura

Estrusione

• Piegatura

Stampaggio

• Laminazione

Laminazione

11

# Processi di lavorazione per deformazione plastica

### Criteri di classificazione

Stazionari o evolutivi

• Se le variabili di stato (sforzi, deformazioni, temperature) del processo non variano al trascorrere del tempo, il processo si dice stazionario. I processi stazionari sono tipicamente quelli "in continuo", come la laminazione.

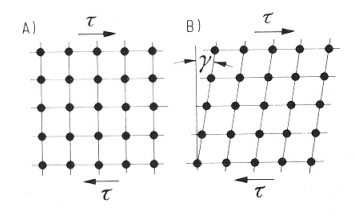
### A caldo o a freddo

• Se la temperatura del materiale in lavorazione supera i 2/3 della temperatura di fusione del materiale, il processo si dice è classificato "caldo". Se il materiale non subisce apporto di calore dall'esterno, il processo si dice "a freddo". Esistono, poco diffusi industrialmente, tentativi di realizzare processi "a tiepido".

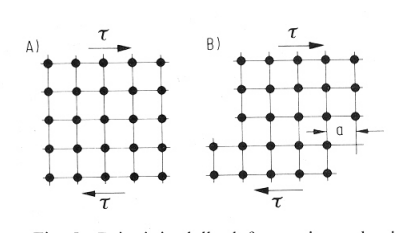
### **DEFORMAZIONE E MATERIALI**

I materiali metallici se sollecitati si deformano prima elasticamente e poi plasticamente. Questo comportamento ha una spiegazione a livello microscopico osservando il reticolo cristallino.

Campo elastico



Campo plastico



Quando si ha deformazione plastica con buona approssimazione si può ritenere il volume costante.

13

# Meccanismi di deformazione

Slip lines

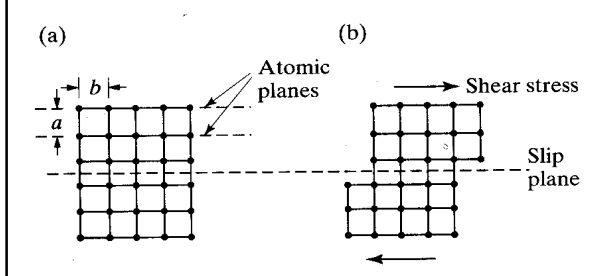
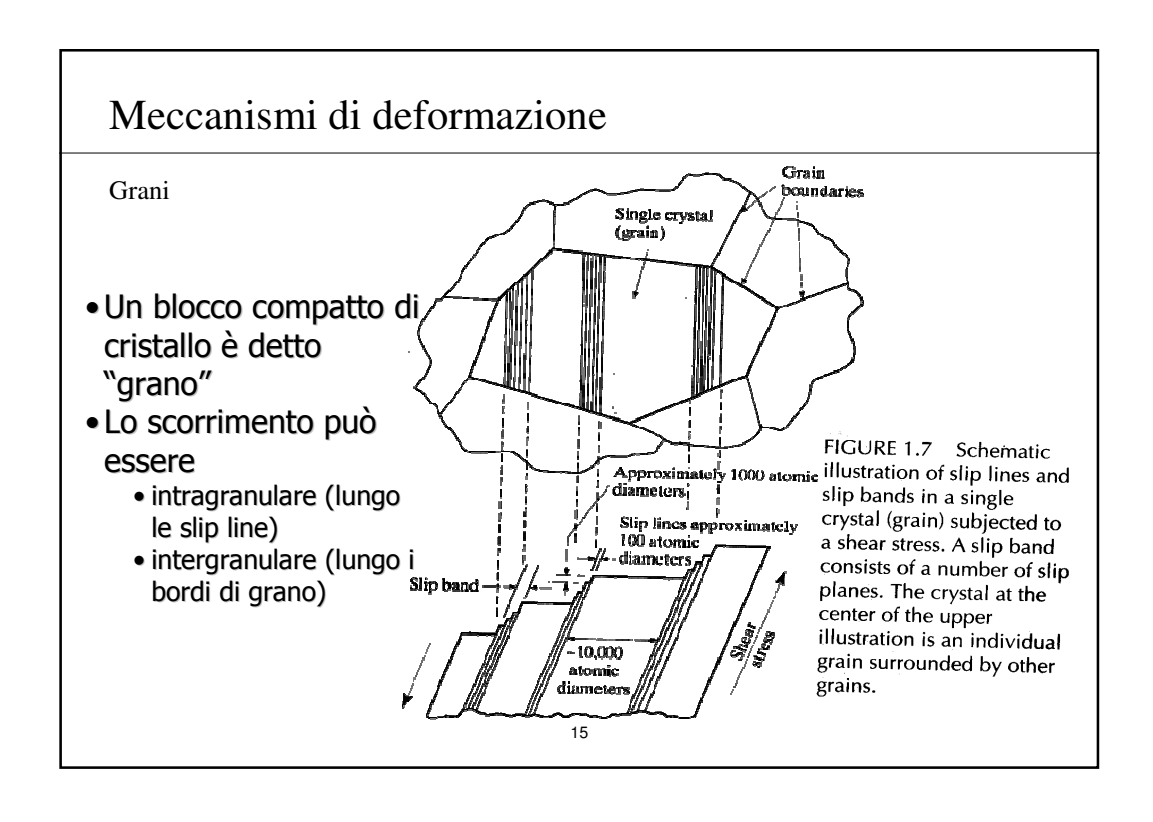
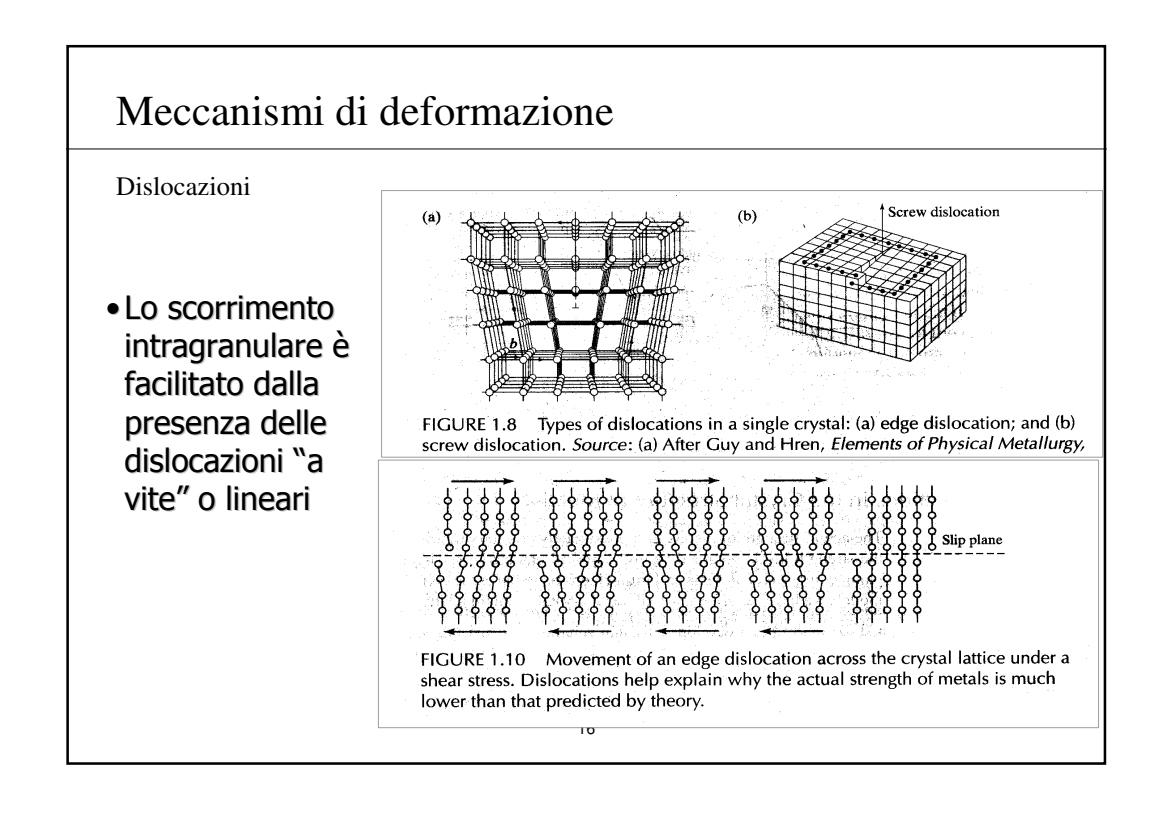


FIGURE 1.5 Permanent deformation (also called plastic deformation) of a single crystal subjected to a shear stress: (a) structure before deformation; and (b) permanent deformation by slip. The size of the *b/a* ratio influences the magnitude of the shear stress required to cause slip.

La deformazione plastica avviene sempre per moto relativo di blocchi cristallini di lungo le cosiddette "linee di scorrimento"





# Meccanismi di deformazione

### Anisotropia

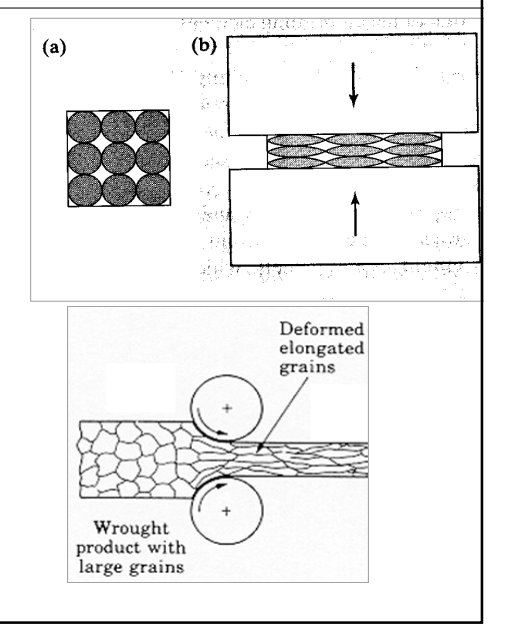
La deformazione plastica ovviamente cambia la forma dei grani

 Esempi tipici sono stampaggio massivo e laminazione a freddo

A livello macroscopico, questo determina diverse caratteristiche meccaniche in diverse direzioni

Il materiale può diventare quindi anisotropo durante il processo

Talvolta anche il materiale di partenza, specie se in forma di lamiera, può essere anisotropo



17

# Meccanismi di deformazione

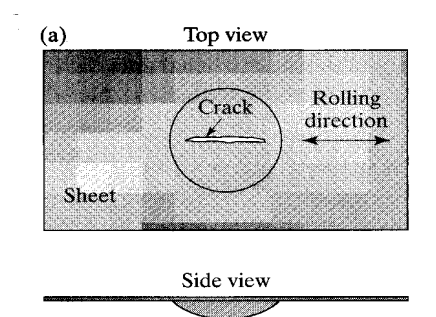
### Anisotropia

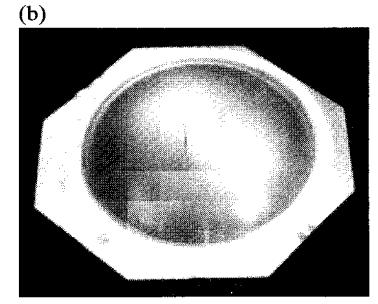
Mechanical fibering

- Anisotropia indotta da deformazione

Orientamenti preferenziali

- proprietà metallurgiche intrinseche del materiale





# SFORZI E DEFORMAZIONI

Nel dimensionamento di un prodotto (ad esempio organi di macchina) si è abituati a ragionare in campo elastico.

Nelle lavorazioni per deformazione plastica si porta il materiale in campo plastico. Le differenze tra i due campi sono importanti:

	Campo elastico	Campo plastico	
Sforzi	Tensore sforzi	Tensore sforzi	
Deformazioni	Tensore deformazioni elastiche	Tensore deformazioni (elastiche + plastiche o solo plastiche)	
Legame sforzi- deformazioni	Hooke	Prandtl-Reuss (tra sforzo e deformazione plastica incrementale)	
Volume	Variabile	Costante ( $v = 0.5$ )	
Attrito	Coulombiano	Costante (o a volte Coulombiano)	

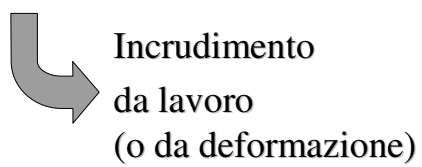
19

Meccanismi di deformazione:

### incrudimento

Col progredire della deformazione plastica, le dislocazioni possono

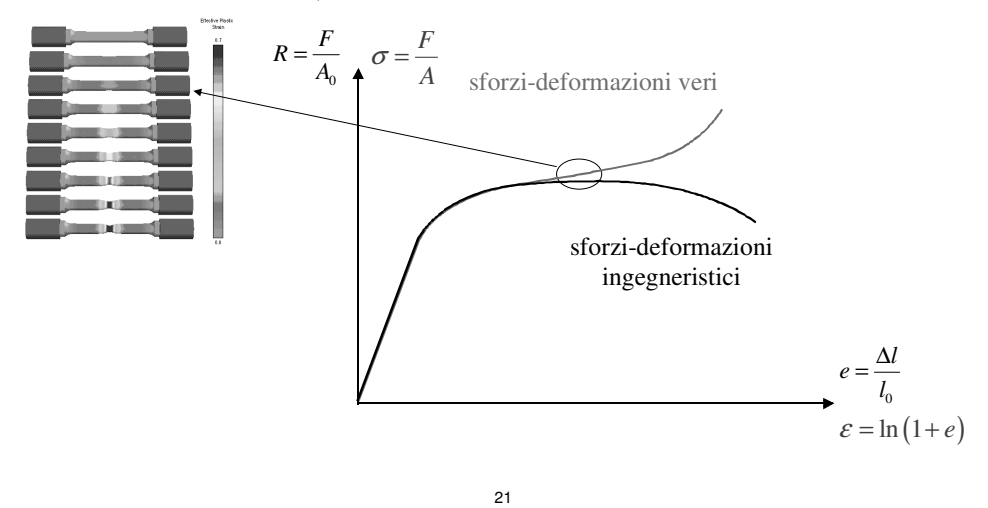
- Interferire tra loro (impilarsi)
- Essere impedite da
  - Bordi di grano
  - Impurità
  - Inclusioni



Incrudimento = aumento della forza necessaria

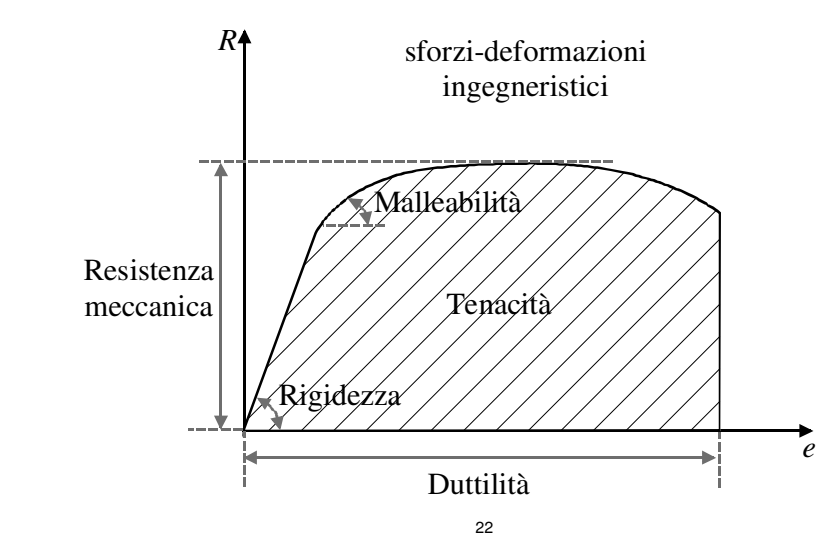
# **DEFORMAZIONE E MATERIALI**

Il comportamento dei materiali lo descriviamo attraverso la prova di trazione (stato di sollecitazione monoassiale).





Le varie grandezze di interesse per la deformazione plastica ricavabili dalla prova sono:



### Meccanismi di deformazione

### Effetti della temperatura

# Lavorazioni a freddo $T/T_m < 0.3$

- maggiori forze ed energie
- migliori proprietà meccaniche
- maggiore precisione dimensionale
- migliore finitura superficiale

# Lavorazioni intermedie $T/T_m < 0.5$

### Lavorazioni a caldo $T/T_m > 0.6$

- minori forze ed energie
- minori proprietà meccaniche
- minore precisione dimensionale
- minore finitura superficiale

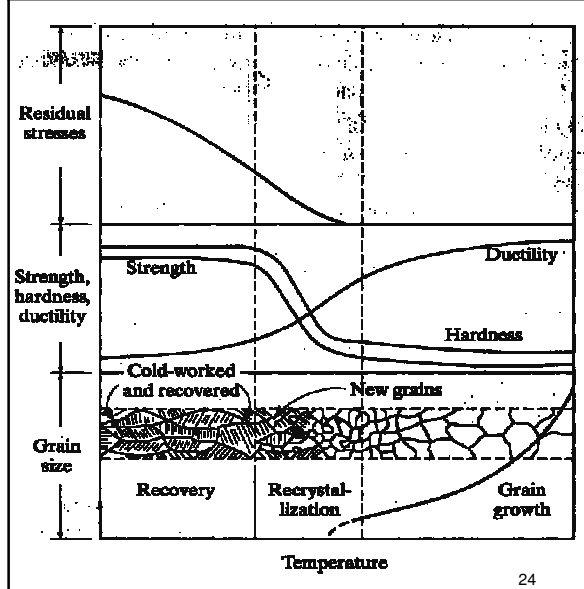
(T<sub>m</sub> temp di fusione)

La differenza è data dalla temperatura di ricristallizzazione

23

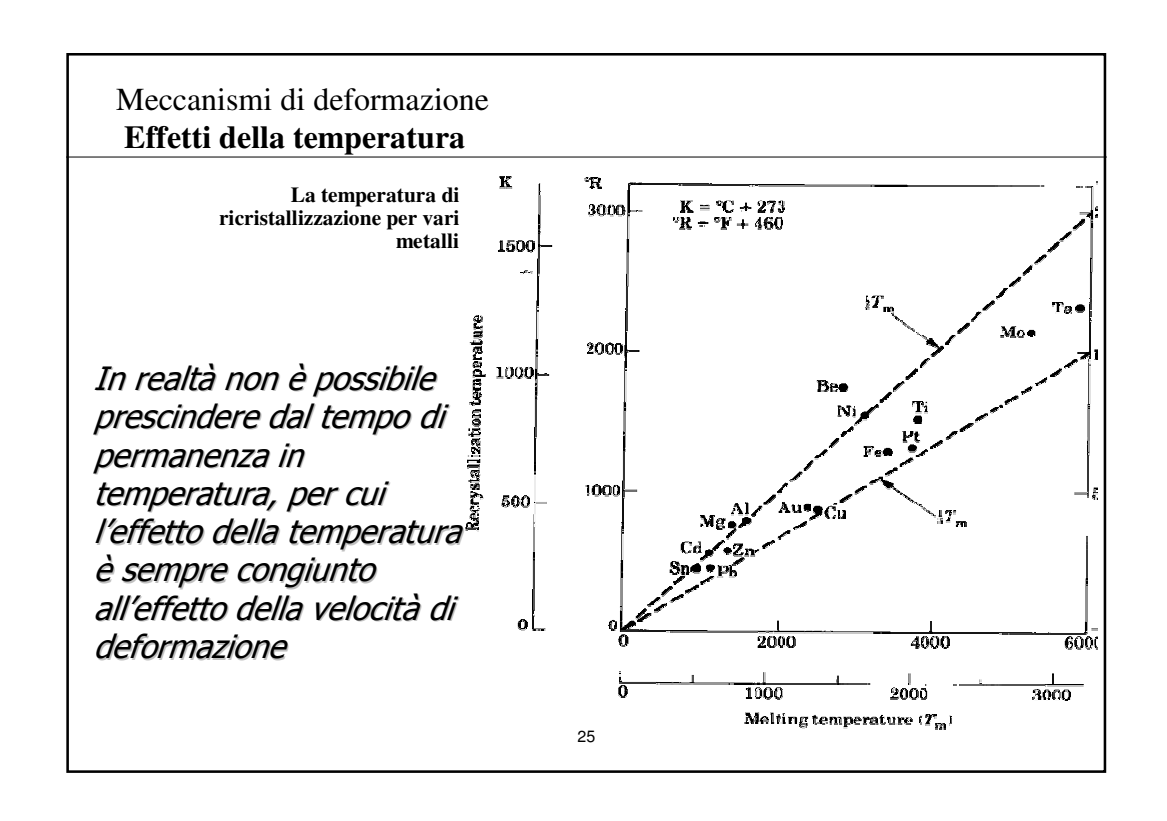
# Meccanismi di deformazione

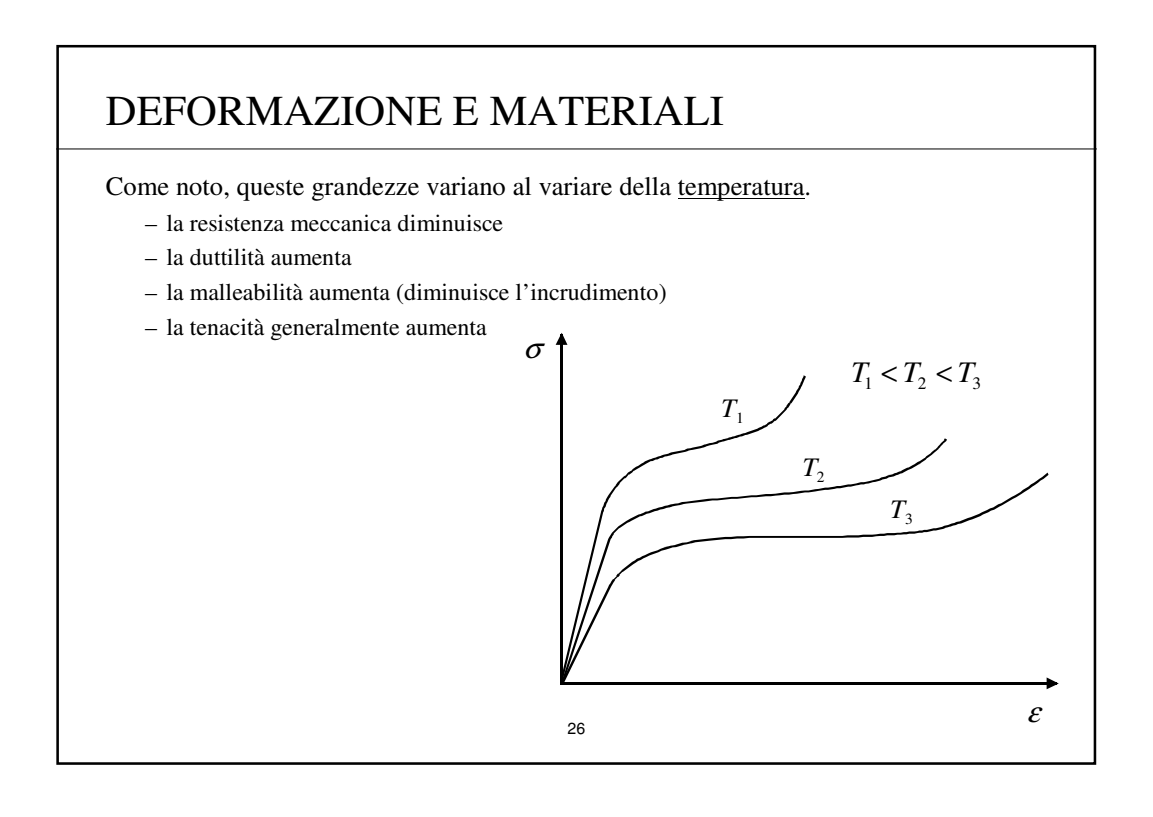
# Effetti della temperatura



# Alla temperatura di ricristallizzazione cambia la metallurgia del materiale

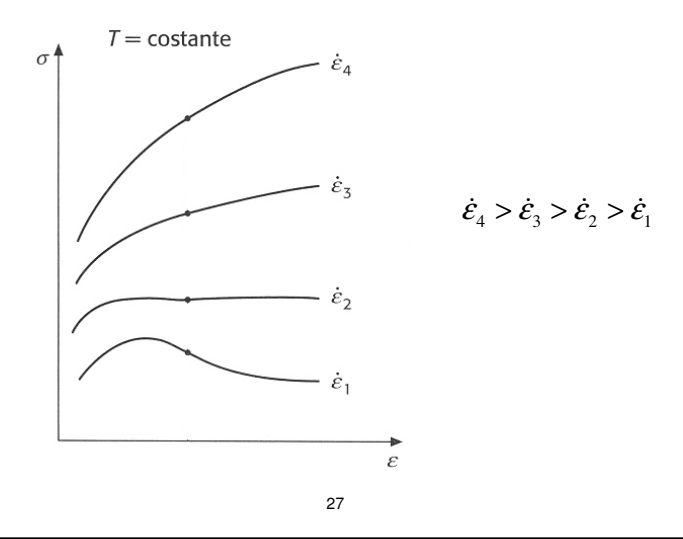
- I grani diventano più fini e tondeggianti
  - Lo scorrimento intergranualare è ovviamente favorito da grani più piccoli
- Oltre questa temperatura, i grani ricominciano a crescere





# **DEFORMAZIONE E MATERIALI**

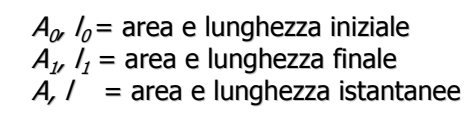
Il comportamento meccanico dipende però anche dalla velocità di deformazione:

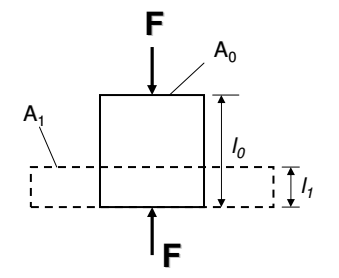


# Stato di deformazione

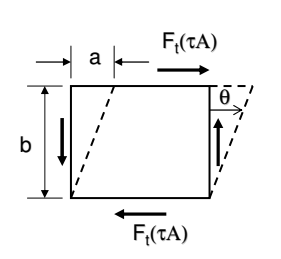
# Modi di Deformazione

Trazione Uniforme

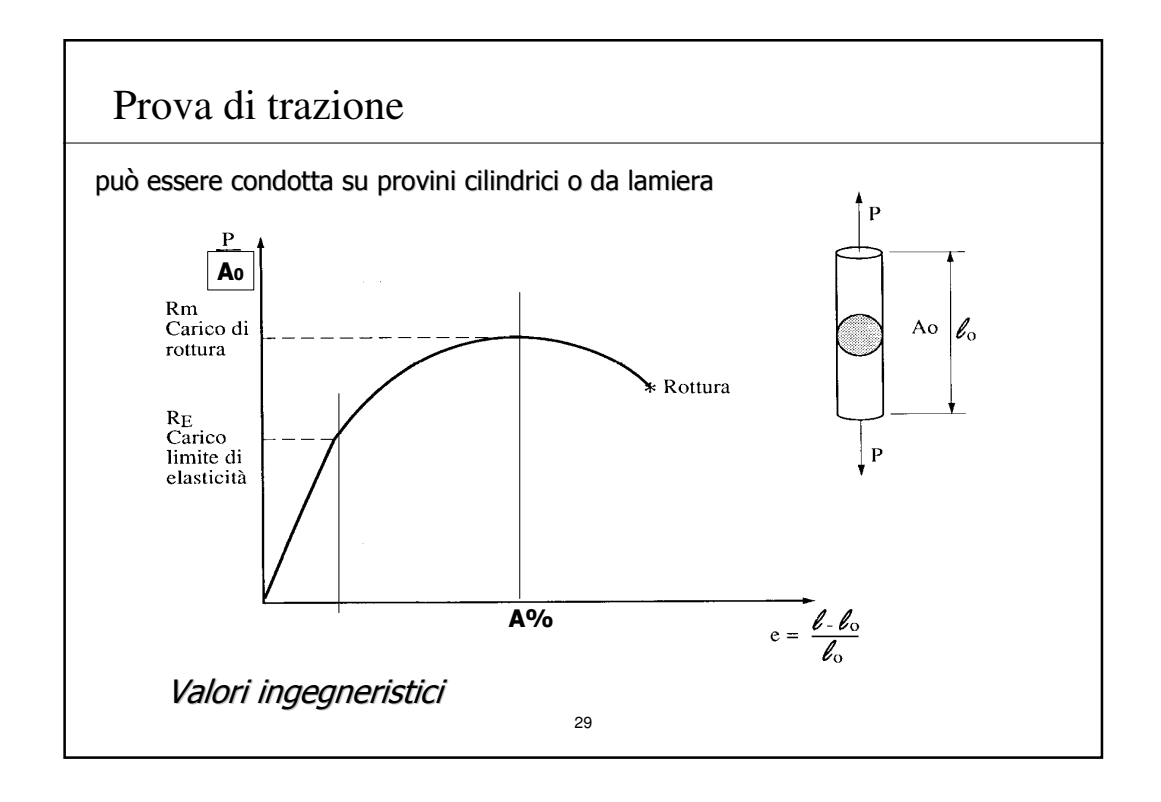




Compressione Uniforme



Taglio



# Stato di deformazione

### Deformazione Vera & Ingegneristica

Deformazione Ingegneristica (Allungamento)

$$e = \frac{\Delta l}{l_o} = \frac{l_1 - l_o}{l_o}$$

Deformazione Reale

Volume Constancy

$$\varepsilon = \int_{l_0}^{l_1} \frac{dl}{l} = \ln\left(\frac{l_1}{l_0}\right)$$

# Stato di sforzo

# Tensione Normale

$$\sigma = \frac{F_{n}}{A}$$

F<sub>n</sub>: Forza Normale

F<sub>t</sub>: Forza Tangenziale



Tensione Tangenziale



Tensione Ingegneristica



A<sub>0</sub>: Area Iniziale

A: Area Instantanea

Tensione Reale

$$\sigma = \frac{F}{A}$$

31

# MODELLI REOLOGICI

In campo elastico il legame tra sforzo monoassiale e deformazione viene descritto attraverso la legge di Hooke:

$$\sigma = E\varepsilon$$

In campo plastico il legame tra sforzo monoassiale e deformazione viene descritto attraverso un modello reologico. Abbiamo visto che in linea generale sarà:

$$\sigma = f(\varepsilon, T, \dot{\varepsilon})$$

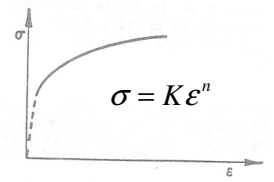
Per semplicità prendiamo in considerazione due classi di modelli:

$$\sigma = f(\varepsilon)$$
  $\dot{\varepsilon} = \dot{\varepsilon}_0; T = T_0$ 

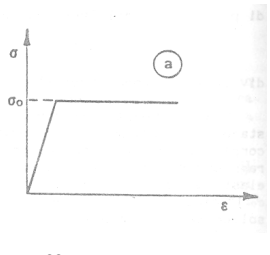
$$\sigma = f(\dot{\varepsilon})$$
  $\varepsilon = \varepsilon_0;$   $T = T_0$ 

Per il primo modello  $\sigma = f(\mathcal{E})$  abbiamo diverse possibilità:

modello esponenziale:



modello rigido-plastico



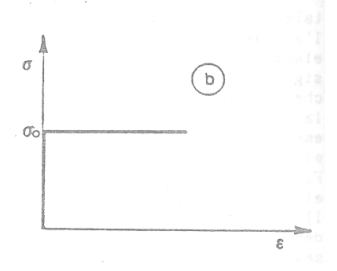
33

# Leggi di flusso plastico

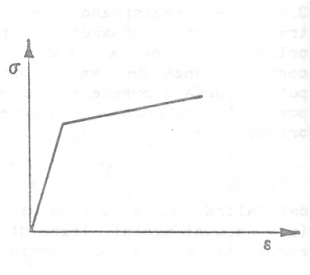
TABLE 2.3 Typical Values for *K* and *n* at Room Temperature

	K (MPa)	n
Aluminum		
1100-O	180	0.20
2024-T4	690	0.16
6061–O	205	0.20
6061-T6	410	0.05
7075-O	400	0.17
Brass		
70-30, annealed	900	0.49
85-15, cold-rolled	580	0.34
Cobalt-base alloy, heat-treated	2070	0.50
Copper, annealed	315	0.54
Steel		
Low-C annealed	530	0.26
4135 annealed Annealed = ricotto	1015	0.17
4135 cold-rolled	1100	0.14
4340 annealed	640	0.15
304 stainless, annealed	1275	0.45
410 stainless, annealed	960	0.10

modello perfettamente plastico:



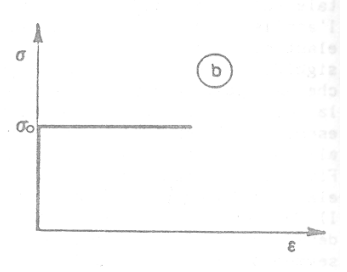
modello rigido-plastico con incrudimento:



3

# CRITERIO DI PLASTICITA' MONOASSIALE

Per giungere ad una modellazione analitica delle lavorazioni per deformazione plastica è spesso necessario descrivere il materiale con un modello semplice: il modello infinitamente rigido, perfettamente plastico:

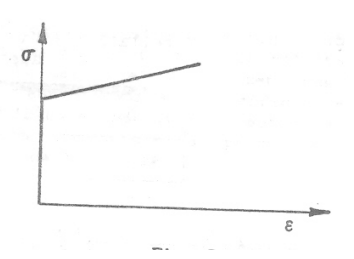


Il materiale è così caratterizzato da un unico parametro: la RESISTENZA AL FLUSSO PLASTICO (o FLOW STRESS)  $\sigma_0$ . Quindi quando

$$\sigma = \sigma_0$$

il materiale fluisce plasticamente.

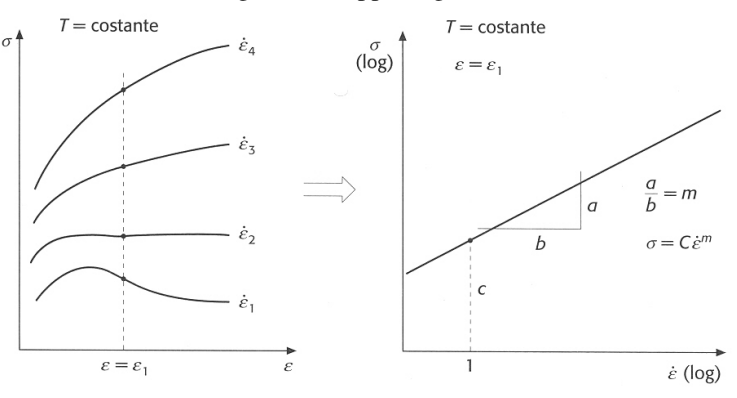
modello plastico con incrudimento:



37

# MODELLI REOLOGICI

Per il secondo modello  $\sigma = f(\dot{\mathcal{E}})$  si osserva che la relazione tra lo sforzo e la velocità di deformazione è lineare in un diagramma doppio logaritmico:



Quindi il modello più adatto è  $\sigma = C\dot{\varepsilon}^m$ 

# Leggi di flusso plastico:

velocità di deformazione e temperatura

Per lavorazioni

a caldo isoterme:  $\overline{\sigma} = C \cdot \dot{\overline{\varepsilon}}^m$ 

Valori tipici di C ed m

Materiale	Temperatura (°C)	C (MPa)	m
Alluminio	200 - 500	82 - 14	0.07 - 0.23
Leghe alluminio	200 - 500	310 - 35	0 - 0.20
Rame	300 - 900	240 - 20	0.05 - 0.17
Leghe rame	200 - 800	415 - 14	0.02 - 0.3
Magnesio	200 - 400	140 - 14	0.07 - 0.43
Piombo	100 - 300	11 - 2	0.1 - 0.2
Acciaio b.t.C.	900 - 1200	155 - 48	0.08 - 0.22
Acciaio m.t.C.	900 - 1200	160 - 48	0.07 - 0.24
Acciaio a.t.C.	900 - 1200	415 - 35	0.04 - 0.4
Titanio	200 - 1000	930 - 14	0.04 - 0.3
Leghe titanio	200 - 1000	900 - 35	0.02 - 0.3

39

# Leggi di flusso plastico:

velocità di deformazione e temperatura

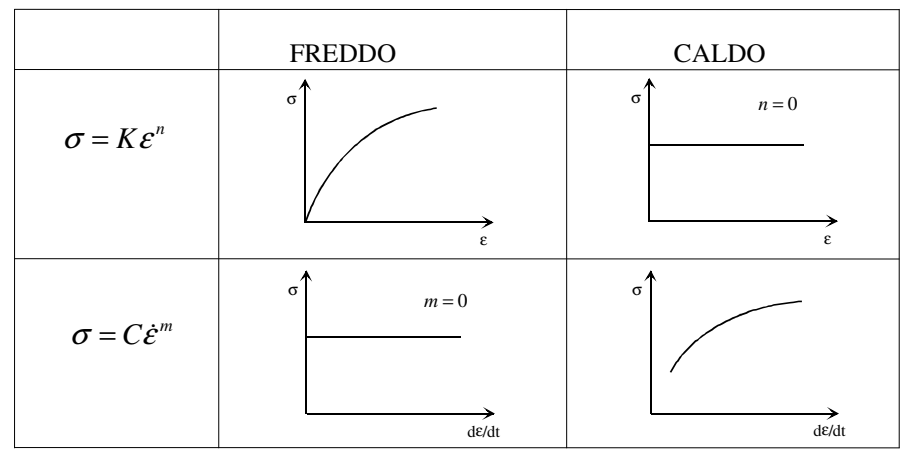
Per lavorazioni a caldo isoterme:

$$\bar{\sigma} = C \cdot \dot{\bar{\varepsilon}}^m$$

# Velocità tipiche nei processi di deformazione plastica

			·
Processo	$\mathcal{E}$	Vel. def. (m/s)	$\overline{\mathcal{E}}$
Forgiat., lamin. a freddo	0.1 - 0.5	0.1 - 100	1 - 10 <sup>3</sup>
Forgiat., lamin. a caldo	0.1 - 0.6	0.1 - 30	$1 - 10^3$
Trafilat. (a freddo)	0.05 - 0.5	0.1 - 100	$1 - 10^4$
Estrusione (a caldo)	2 - 5	0.1 - 1	$10^{-1} - 10^2$
Form. a esplosione	0.05 - 0.2	10 - 100	10 - 10 <sup>5</sup>
Stamp. lamiere	0.1 - 0.5	0.05 - 2	$1 - 10^2$
Form. superplastica	0.2 - 3	$10^{-4} - 10^{-2}$	$10^{-4} - 10^{-2}$
Truciolo	1 - 10	0.1 - 100	10 <sup>3</sup> - 10 <sup>6</sup>

Il valore delle costanti dipende dalla temperatura. Sperimentalmente si osserva che con buona approssimazione gli esponenti si annullano a seconda che la lavorazione avvenga a freddo o a caldo.



41

# MODELLI REOLOGICI

velocità di deformazione e temperatura

in funzione della velocità di deformazione

### Meccanismo

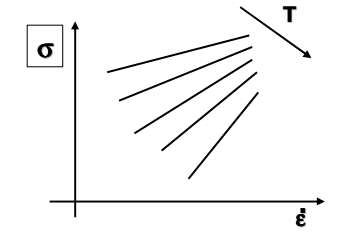
- •velocità di incrudimento
- •velocità di ricristallizzazione

### A basse temperature

- alta resistenza meccanica
- poco sensibile
- $-(m \sim 0)$

# Ad alte temperature

- bassa resistenza
- molto sensibile
- $-(n \sim 0)$

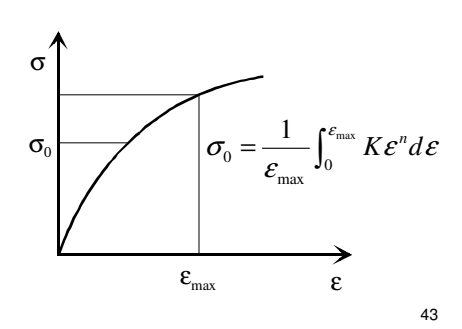


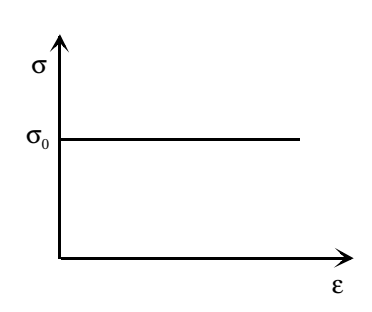
$$\overline{\sigma} = K \overline{\varepsilon}^n \dot{\overline{\varepsilon}}^m$$

### CRITERIO DI PLASTICITA'

L'approssimazione introdotta usando questo modello è limitata nel caso di lavorazioni a caldo, se si trascura l'effetto della velocità.

Per le lavorazioni a freddo l'approssimazione è più grossolana e  $\sigma_0$  può essere definito come la media della sollecitazione durante tutta la deformazione (anche se spesso la  $\mathcal{E}_{max}$  non è nota...):





**DEFORMAZIONE E MATERIALI** 

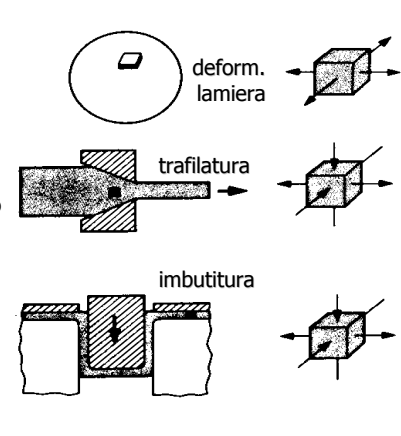
Fino ad ora abbiamo descritto il comportamento meccanico del materiale nel caso di sollecitazione monoassiale.

Per applicare l'analisi sforzo/deformazione alle lavorazioni per deformazione plastica dobbiamo tenere conto del fatto che la sollecitazione è in generale multiassiale:

- abbiamo bisogno di un criterio per trasformare un generico stato di sollecitazione in uno monoassiale equivalente (sforzo equivalente);
- dobbiamo avere un criterio per capire quando il materiale fluisce plasticamente;
- una volta che sappiamo che il materiale scorre plasticamente, non possiamo usare la legge di Hooke ma dobbiamo costruire un nuovo modello di relazione tra sforzo e deformazione

### Inoltre

 dobbiamo descrivere opportunamente l'attrito che si svilupperà tra il materiale e le pareti

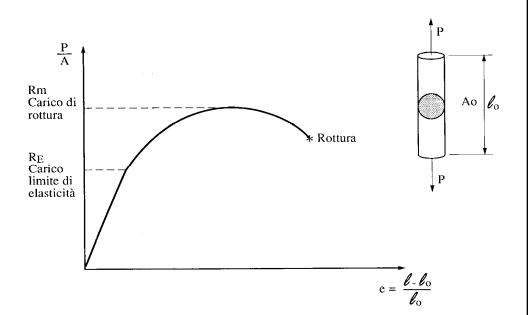


# Prova di trazione

Nel caso uniassiale, il valore di sforzo reale  $\sigma = \frac{P}{A}$ 

è immediatamente evidente, mentre in caso di sollecitazioni composte (stato di sforzo triassiale si deve adottare un criterio di resistenza:

("flow stress" o "sforzo equivalente")

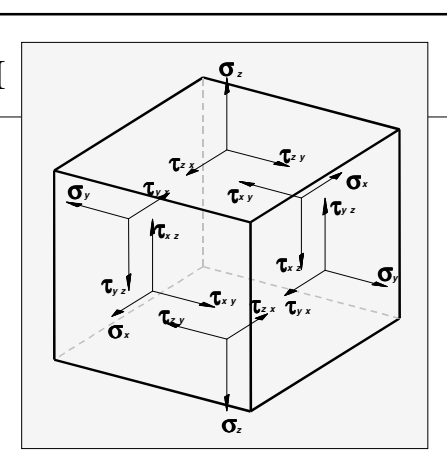


$$\sigma = P / A$$
 
$$\epsilon = \int_{lo}^{l} dl / l = ln l / l_{o}$$

45

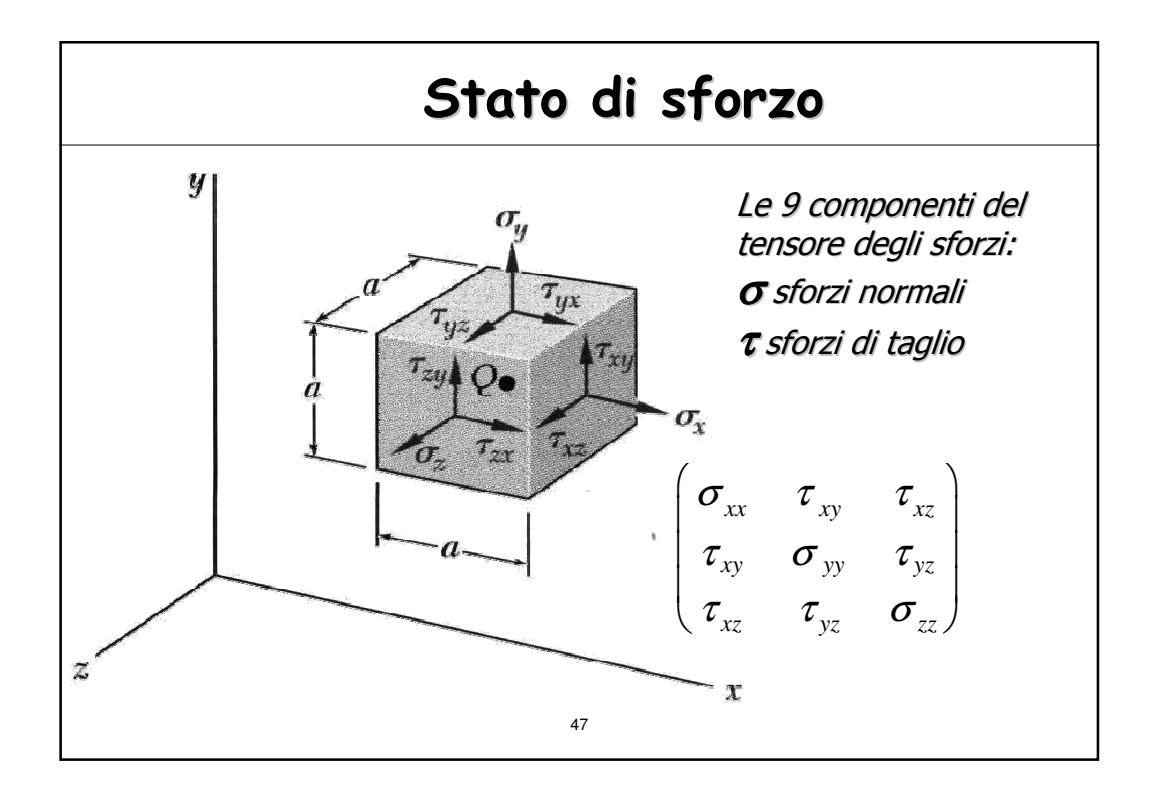
# SFORZI E DEFORMAZIONI

Riprendiamo alcuni concetti in parte già noti.



### Ricordiamo che:

• Sforzi e deformazioni sono grandezze **tensoriali**;



# **SFORZI**

Un generale stato di sforzo è definito da:

$$egin{bmatrix} \sigma_x & au_{xy} & au_{xz} \ au_{xy} & \sigma_y & au_{yz} \ au_{xz} & au_{yz} & \sigma_z \ \end{bmatrix}$$

Se il sistema di riferimento è principale si ha:

$$egin{bmatrix} \pmb{\sigma}_{\!_1} & 0 & 0 \ 0 & \pmb{\sigma}_{\!_2} & 0 \ 0 & 0 & \pmb{\sigma}_{\!_3} \ \end{pmatrix}$$

Se dobbiamo ordinare le tensioni principali scriviamo

$$\sigma_{_{
m I}} > \sigma_{_{
m II}} > \sigma_{_{
m III}}$$

# Stato di sforzo: casi particolari

Trazione/compressione monoassiale

$$\sigma_1 \neq 0$$

$$\sigma_2 = \sigma_3 = 0$$

$$\boldsymbol{\sigma}_1 \neq 0; \ \boldsymbol{\tau}_{13} = \boldsymbol{\tau}_{31}$$

$$O_2 = O_3 = 0$$

$$\sigma_1 = \sigma_2 = \sigma_3 = 0$$

$$\tau_{12} = \tau_{21}$$

Altri 
$$\tau_{ij} = 0$$

$$\sigma_2 = \sigma_3 = 0$$
 semplice 
$$\tau_{ij} = 0$$
 
$$\tau_{ij} = 0$$
 
$$\tau_{12} = \tau_{21}$$
 Trazione biassiale 
$$\sigma_1 \neq 0; \ \tau_{13} = \tau_{31}$$
 
$$\sigma_2 = \sigma_3 = 0$$
 
$$Altri \ \tau_{ij} = 0$$
 
$$\Delta ltri \ \tau_{ij} = 0$$
 
$$\Delta ltri \ \tau_{ij} = 0$$

Stato piano di sforzo

$$\sigma_3 = \tau_{ii} = 0$$

$$\sigma_1 = \sigma_2$$

$$\sigma_3 = \tau_{ij} = 0$$

# Stato di sforzo

Si definisce la sollecitazione idrostatica:

$$\sigma_{idr} = \frac{1}{3} (\sigma_1 + \sigma_2 + \sigma_3) = \frac{1}{3} (\sigma_x + \sigma_y + \sigma_z)$$

e quella <u>deviatorica</u>:  $\sigma'_1 = \sigma_1 - \sigma_{idr}$ 

$$\begin{bmatrix} \boldsymbol{\sigma}_{x} & \boldsymbol{\tau}_{xy} & \boldsymbol{\tau}_{xz} \\ \boldsymbol{\tau}_{xy} & \boldsymbol{\sigma}_{y} & \boldsymbol{\tau}_{yz} \\ \boldsymbol{\tau}_{xz} & \boldsymbol{\tau}_{yz} & \boldsymbol{\sigma}_{z} \end{bmatrix} = \begin{bmatrix} \boldsymbol{\sigma}_{x}' & \boldsymbol{\tau}_{xy} & \boldsymbol{\tau}_{xz} \\ \boldsymbol{\tau}_{xy} & \boldsymbol{\sigma}_{y}' & \boldsymbol{\tau}_{yz} \\ \boldsymbol{\tau}_{xz} & \boldsymbol{\tau}_{yz} & \boldsymbol{\sigma}_{z}' \end{bmatrix} + \begin{bmatrix} \boldsymbol{\sigma}_{idr} & 0 & 0 \\ 0 & \boldsymbol{\sigma}_{idr} & 0 \\ 0 & 0 & \boldsymbol{\sigma}_{idr} \end{bmatrix}$$

**Total Stress = Deviatoric Stress + Mean Stress** 

# Stato di sforzo

Se rappresentiamo i tensori come una matrice 3x3, la somma degli elementi della diagonale principale (**traccia**) non dipende dal sistema di riferimento

$$\begin{pmatrix}
\sigma_{xx} & \tau_{xy} & \tau_{xz} \\
\tau_{xy} & \sigma_{yy} & \tau_{yz} \\
\tau_{xz} & \tau_{yz} & \sigma_{zz}
\end{pmatrix} = \begin{pmatrix}
\sigma_{xx} - \sigma_{m} & \tau_{xy} & \tau_{xz} \\
\tau_{xy} & \sigma_{yy} - \sigma_{m} & \tau_{yz} \\
\tau_{xz} & \tau_{yz} & \sigma_{zz} - \sigma_{m}
\end{pmatrix} + \begin{pmatrix}
\sigma_{m} & 0 & 0 \\
0 & \sigma_{m} & 0 \\
0 & 0 & \sigma_{m}
\end{pmatrix}$$

$$\sigma_{m} = \frac{\sigma_{xx} + \sigma_{yy} + \sigma_{zz}}{3} = \frac{I_{1}}{3}$$
Responsible for **Shape Change**

$$N$$
Responsible for **Volume Change**

Total Stress = Deviatoric Stress + Mean Stress

5

# Stato di sforzo

La componente deviatorica del tensore degli sforzi è la vera responsabile della deformazione plastica, cioè del cambiamento di forma.

$$\sigma_m = \frac{\sigma_{xx} + \sigma_{yy} + \sigma_{zz}}{3} = \frac{I_1}{3}$$

 $\rm I_1$  è detto primo invariante del tensore degli sforzi, ed è una quantità che non dipende dal sistema di riferimento cartesiano scelto per rappresentare il tensore. Ci sono anche altri 2 invarianti,  $\rm I_2$  ed  $\rm I_3$ 

La componente media è detta anche idrostatica, poiché corrisponde esattamente allo stato di sforzo cui è soggetto un corpo immerso in un fluido ad una data pressione. Tale componente non può essere responsabile di deformazione plastica poiché non genera sforzi di taglio, quindi non potrà far scorrere tra loro i blocchi cristallini lungo le slip lines. La componente media può causare contrazioni o espansioni del volume del materiale, che restano però in campo elastico

**Total Stress = Deviatoric Stress + Mean Stress** 

# Stato di sforzo

### Osservazioni:

- La distinzione tra le 2 componenti non è rilevante per i solidi elastici, mentre lo è per i liquidi ed i solidi in campo plastico
- I gas non sono generalmente influenzati dalla componente deviatorica
- Materiali anisotropi possono subire deformazione plastica anche in presenza della sola componente idrostatica
- In realtà si vede che un'elevata componente media può in taluni casi aumentare la duttilità dei materiali

**Total Stress = Deviatoric Stress + Mean Stress** 

53

### **DEFORMAZIONI**

Un generico stato di deformazioni è definito da:

$$\begin{bmatrix} \varepsilon_{x} & \frac{1}{2}\gamma_{xy} & \frac{1}{2}\gamma_{xz} \\ \frac{1}{2}\gamma_{xy} & \varepsilon_{y} & \frac{1}{2}\gamma_{yz} \\ \frac{1}{2}\gamma_{xz} & \frac{1}{2}\gamma_{yz} & \varepsilon_{z} \end{bmatrix}$$

Se il sistema di riferimento è principale si ha:

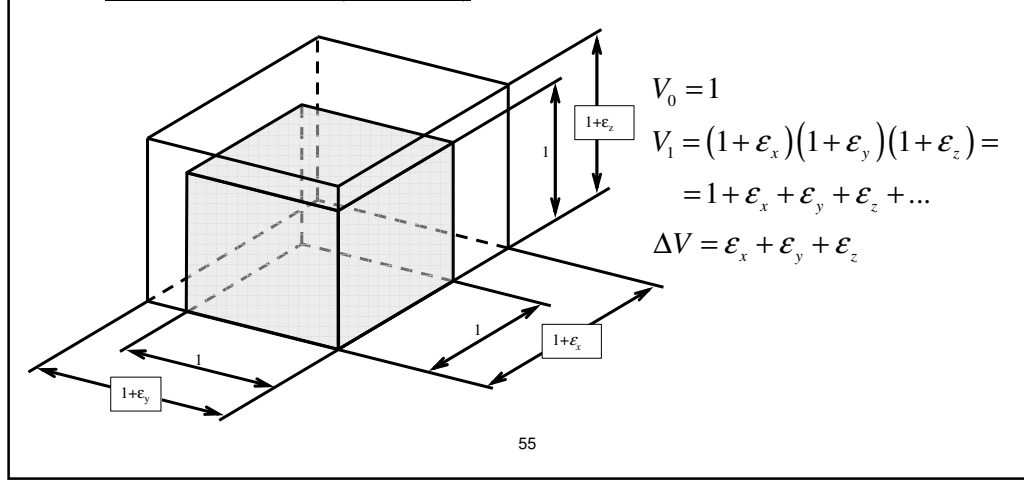
$$\begin{bmatrix} \boldsymbol{\varepsilon}_1 & 0 & 0 \\ 0 & \boldsymbol{\varepsilon}_2 & 0 \\ 0 & 0 & \boldsymbol{\varepsilon}_3 \end{bmatrix}$$

# **DEFORMAZIONI**

Per le deformazioni, il termine:

$$\mathcal{E}_1 + \mathcal{E}_2 + \mathcal{E}_3 \qquad \left( = \mathcal{E}_x + \mathcal{E}_y + \mathcal{E}_z \right)$$

è la variazione di volume (dilatazione).



# **DEFORMAZIONI**

Se la deformazione giunge in campo plastico possiamo scrivere:

$$\mathbf{\varepsilon} = \mathbf{\varepsilon}^{el} + \mathbf{\varepsilon}^{pl}$$

cioè la deformazione è la somma della componente elastica e quella plastica.

In campo plastico vale la costanza del volume:

$$\boldsymbol{\mathcal{E}}_{1}^{pl} + \boldsymbol{\mathcal{E}}_{2}^{pl} + \boldsymbol{\mathcal{E}}_{3}^{pl} = 0$$

questa condizione viene anche detta condizione di incomprimibilità.

Sperimentalmente si osserva che un materiale duttile sottoposto ad una sollecitazione idrostatica di

- compressione: non si deforma plasticamente ma solo elasticamente
- trazione: cede con una frattura fragile.

Come possiamo ricondurre uno stato di sforzo triassiale ad uno sforzo equivalente monoassiale?

$$\begin{bmatrix} \sigma_{x} & \tau_{xy} & \tau_{xz} \\ \tau_{xy} & \sigma_{y} & \tau_{yz} \\ \tau_{xz} & \tau_{yz} & \sigma_{z} \end{bmatrix} \stackrel{?}{\Leftrightarrow} \sigma_{eq}$$

Esistono vari criteri:

- massima tensione positiva (Galileo)
- massima tensione positiva e negativa
- massima tensione tangenziale (Tresca)
- equivalenza dell'energia di deformazione (Beltrami-Haig)
- equivalenza dell'energia di distorsione (Von Mises)
- ...

57

# CRITERI PLASTICITA' TRIASSIALI

Massima tensione positiva (Galileo)

$$\sigma_{eq} = \sigma_{I}$$

Adottando un modello rigido plastico per la sollecitazione monoassiale si ottiene che il materiale fluisce plasticamente quando:

$$\sigma_{\scriptscriptstyle \rm I} = \sigma_{\scriptscriptstyle 0}$$

Massima tensione positiva e negativa

$$\sigma_{eq} = |\sigma_{\text{I}}|$$

Sempre con lo stesso modello per il comportamento monoassiale si ha:

$$|\sigma_{\scriptscriptstyle \rm I}| = \sigma_{\scriptscriptstyle 0}$$

Entrambi i criteri hanno evidenti limiti: non tengono conto della triassialità degli sforzi.

Massima tensione tangenziale (Tresca)

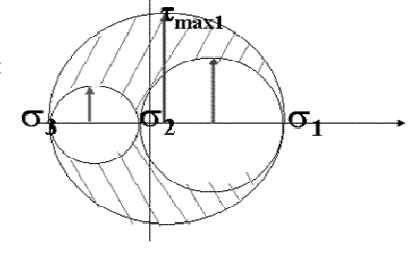
$$\tau_{eq} = \tau_{\text{max}} = \frac{\sigma_{\text{I}} - \sigma_{\text{III}}}{2}$$

Se si ipotizza sempre il modello rigido plastico si ha che:

$$\tau_{0\text{max}} \ge \frac{\sigma_0}{2}$$

e quindi il materiale fluisce plasticamente quando:

$$\sigma_{\text{I}} - \sigma_{\text{III}} \ge \sigma_{0}$$



59

# CRITERI PLASTICITA' TRIASSIALI

Equivalenza dell'energia di deformazione (Beltrami-Haig)

Calcoliamo l'energia di deformazione elastica nel caso triassiale:

$$l_{triass} = \frac{1}{2} (\sigma_1 \varepsilon_1 + \sigma_2 \varepsilon_2 + \sigma_3 \varepsilon_3)$$

e quella del caso monoassiale:

$$l_{mono} = \frac{1}{2}\sigma_{eq}\varepsilon$$

Ipotizziamo che nelle due condizioni mono e multiassiale il flusso plastico avvenga allo stesso valore di energia di deformazione cumulata nel materiale:  $l_{mono} = l_{triass}$ .

Ipotizziamo che si valido il modello elasto-plastico senza incrudimento e applichiamo il legame  $\sigma$ –  $\varepsilon$  in campo elastico. Otteniamo:

$$\sigma_0^2 = \sigma_1^2 + \sigma_2^2 + \sigma_3^2 - 2v(\sigma_1\sigma_2 + \sigma_2\sigma_3 + \sigma_1\sigma_3)$$

σ σ<sub>ο</sub> <u>a</u>

Equivalenza dell'energia di distorsione (Von Mises)

E' un'evoluzione del precedente: è meglio togliere dall'energia di deformazione l'energia associata alla componente idrostatica (dilatazione):

$$l_{triass} = \frac{1}{2} (\sigma_1 \varepsilon_1 + \sigma_2 \varepsilon_2 + \sigma_3 \varepsilon_3) - \frac{1}{2} \sigma_{idr} (\varepsilon_1 + \varepsilon_2 + \varepsilon_3)$$

Seguendo gli stessi passaggi di prima si ottiene:

$$2\sigma_0^2 = (\sigma_1 - \sigma_2)^2 + (\sigma_2 - \sigma_3)^2 + (\sigma_1 - \sigma_3)^2$$

o, nel caso di una generica giacitura:

$$2\sigma_{0}^{2} = (\sigma_{x} - \sigma_{y})^{2} + (\sigma_{x} - \sigma_{z})^{2} + (\sigma_{y} - \sigma_{z})^{2} + 6(\tau_{xy} + \tau_{xz} + \tau_{yz})^{2}$$

Si noti che nel caso in cui sia presente una sola sollecitazione tangenziale si ha:

$$\tau_{\text{max}} = \frac{\sigma_0}{\sqrt{3}}$$
  $\left( > \frac{\sigma_0}{2} \right)$  Tresca

61

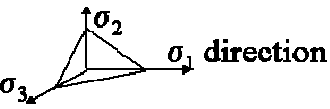
# CRITERI PLASTICITA' TRIASSIALI

### Criterio di von Mises

$$\overline{\sigma} = \sqrt{\frac{(\sigma_1 - \sigma_2)^2 + (\sigma_2 - \sigma_3)^2 + (\sigma_3 - \sigma_1)^2}{2}}$$

 $\overline{\sigma}$  è una grandezza scalare, proporzionale al terzo invariante  $I_3$ , nonché allo sforzo di taglio su un piano inclinato ad angoli uguali con le 3 direzioni principali. Tale sforzo si dice anche

sforzo di taglio ottaedrale



 $\overline{\sigma}$  è la radice della somma quadratica delle 3  $au_{
m max}$ 

# Criterio di von Mises

$$\overline{\sigma} = \sqrt{\frac{(\sigma_1 - \sigma_2)^2 + (\sigma_2 - \sigma_3)^2 + (\sigma_3 - \sigma_1)^2}{2}} = Y$$

# Tale criterio è quello di gran lunga più usato

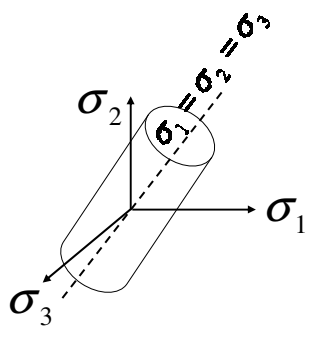
- Si può dimostrare che lo sforzo equivalente alla von Mises è funzione del secondo invariante  $I_2$ , ed è esso stesso invariante
- Il criterio è isotropo (le 3 componenti hanno lo stesso peso)
- Il criterio è indipendente dal termine idrostatico  $\sigma_{\scriptscriptstyle m}$
- È proporzionale alla durezza del materiale

63

# CRITERI PLASTICITA' TRIASSIALI

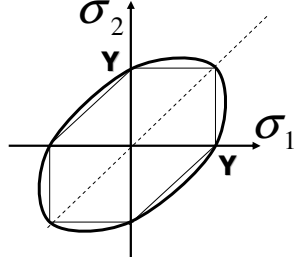
# **Criterio di von Mises**

$$\overline{\sigma} = \sqrt{\frac{(\sigma_1 - \sigma_2)^2 + (\sigma_2 - \sigma_3)^2 + (\sigma_3 - \sigma_1)^2}{2}} = Y$$



# Rappresentazione grafica

- Cilindro infinito di raggio  $2ar{\sigma}$
- Nel piano ( $\sigma_3$ =0) diventa un'ellisse
- Il poligono inscritto corrisponde al criterio di Tresca



# DEFORMAZIONE EFFETTIVA o equivalente

Con considerazioni analoghe, si arriva al concetto di deformazione equivalente. E' definita come:

$$\overline{\varepsilon} = \frac{\sqrt{2}}{3} \sqrt{(\varepsilon_1 - \varepsilon_2)^2 + (\varepsilon_2 - \varepsilon_3)^2 + (\varepsilon_3 - \varepsilon_1)^2}$$

o, in forma incrementale:

$$d\overline{\varepsilon} = \frac{\sqrt{2}}{3} \left\{ (d\varepsilon_1 - d\varepsilon_2)^2 + (d\varepsilon_2 - d\varepsilon_3)^2 + (d\varepsilon_3 - d\varepsilon_1)^2 \right\}^{\frac{1}{2}}$$

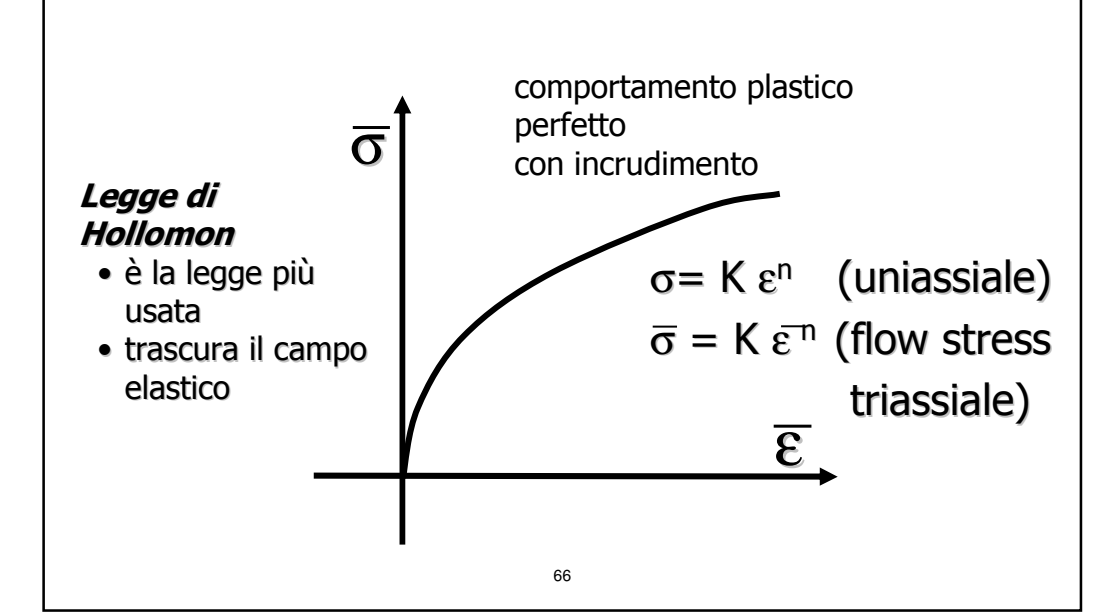
La deformazione equivalente è una grandezza scalare.

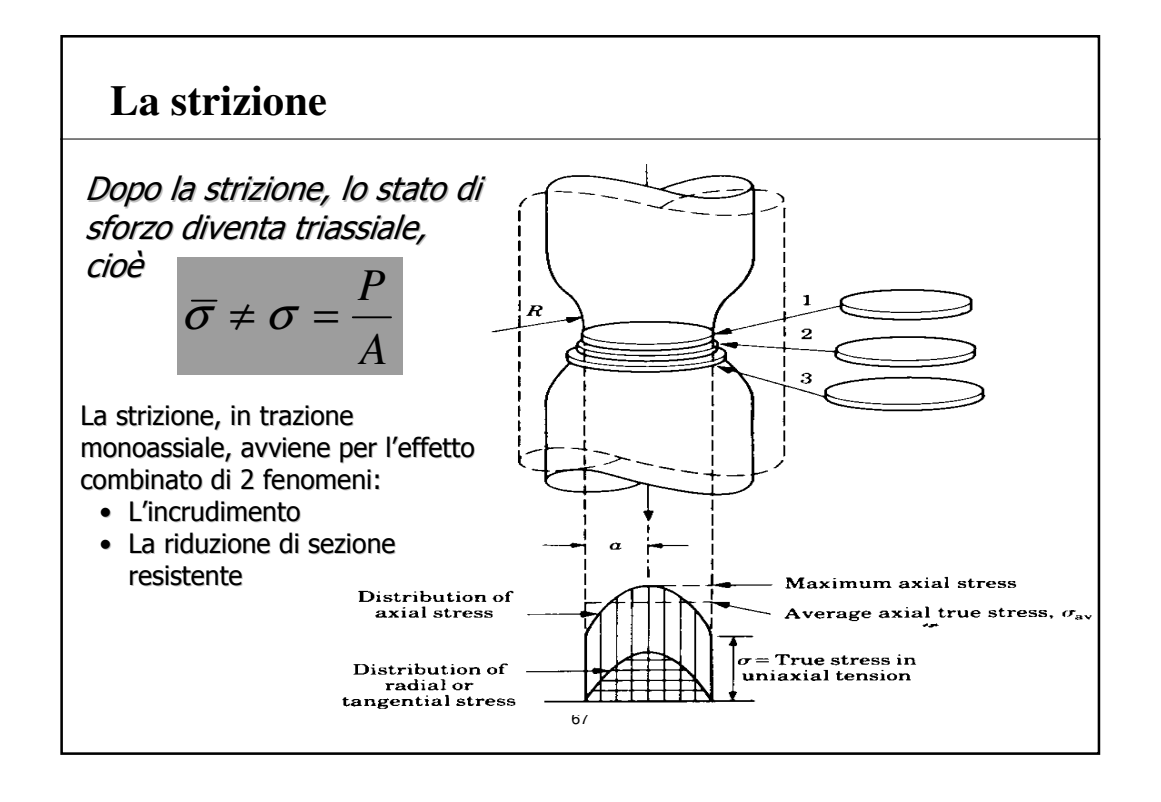
Occorre ora trovare la relazione funzionale tra  $\overline{\sigma}$  ed  $\overline{\mathcal{E}}$ 

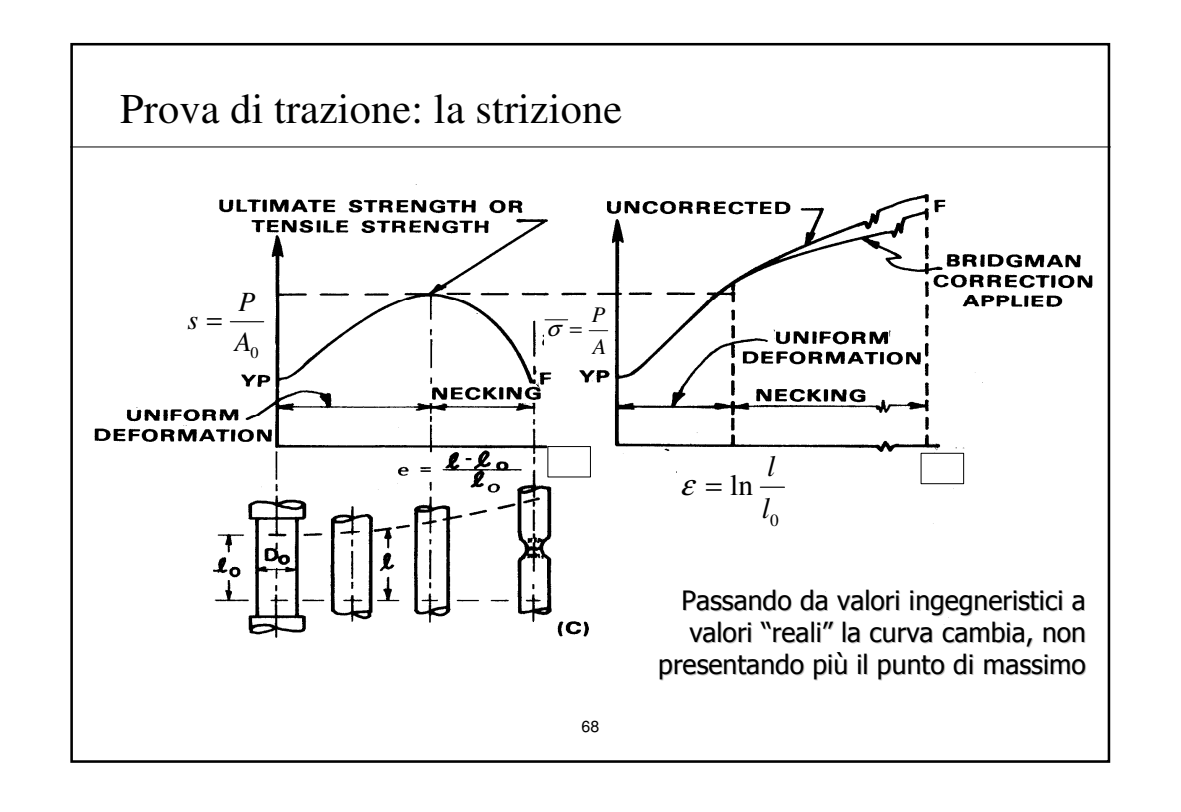
Tale relazione è detta legge di flusso plastico o modello reologico

65

# Leggi di flusso plastico







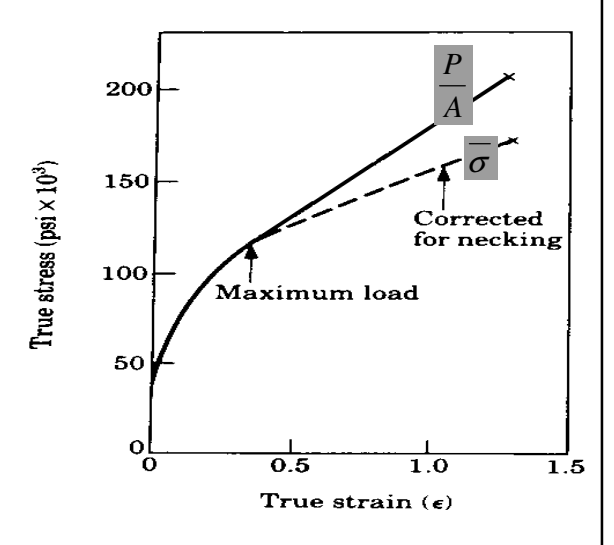
# La strizione

Dopo la strizione, lo stato di sforzo diventa triassiale,

cioè

$$\overline{\sigma} \neq \sigma = \frac{P}{A}$$

È necessaria una correzione dei valori ottenuti dalla prova di trazione (che è uniassiale)



69

# La strizione

Il criterio per l'identificazione della strizione si basa sulla identificazione del carico istantaneo massimo F

$$\frac{dF}{d\overline{\varepsilon}} = 0$$

Dove:  $F = A\overline{\sigma}$ 

$$\overline{\varepsilon} = \ln\left(\frac{l}{l_0}\right) = \ln\left(\frac{A_0}{A}\right) \to A = A_0 e^{-\overline{\varepsilon}}$$

$$F = A\overline{\sigma} = A_0 e^{-\overline{\varepsilon}} \overline{\sigma}$$

 $\overline{\sigma}$  Sforzo effettivo  $\overline{\varepsilon}$  Deformazione effettiva

 $A_0$  Area iniziale

# La strizione

Quindi:

$$\frac{dF}{d\overline{\varepsilon}} = \frac{d(A_0 e^{-\varepsilon} \overline{\sigma})}{d\overline{\varepsilon}} = A_0 (\frac{d\overline{\sigma}}{d\overline{\varepsilon}} e^{-\varepsilon} - \overline{\sigma} e^{-\varepsilon}) = 0 \Rightarrow \frac{d\overline{\sigma}}{d\overline{\varepsilon}} = \overline{\sigma}$$

Se utilizziamo la legge esponenziale per il legame sforzi deformazioni abbiamo:  $\sigma = K(\varepsilon)^n$ 

$$\overline{\sigma} = K(\overline{\varepsilon})'$$

$$\frac{d\overline{\sigma}}{d\overline{\varepsilon}} = Kn(\overline{\varepsilon})^{n-1} = \overline{\sigma} = K(\overline{\varepsilon})^n$$

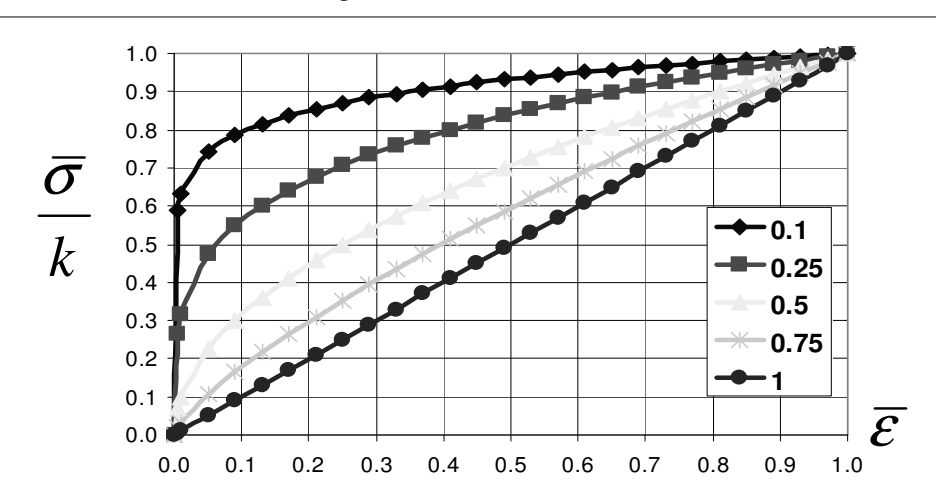
E la deformazione corrispondente alla strizione diviene:

$$\varepsilon_n = n$$

n è l'esponente di incrudimento. Valori elevati sono indice di migliore formabilità.

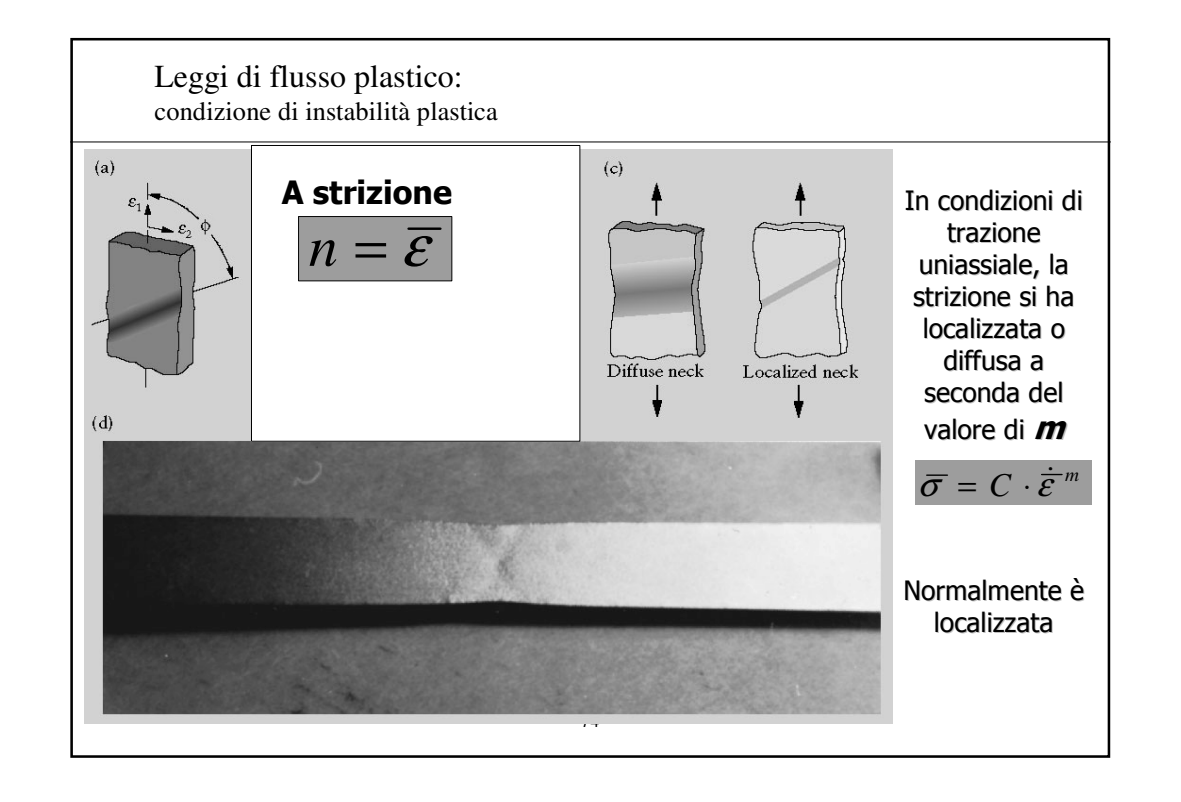
71

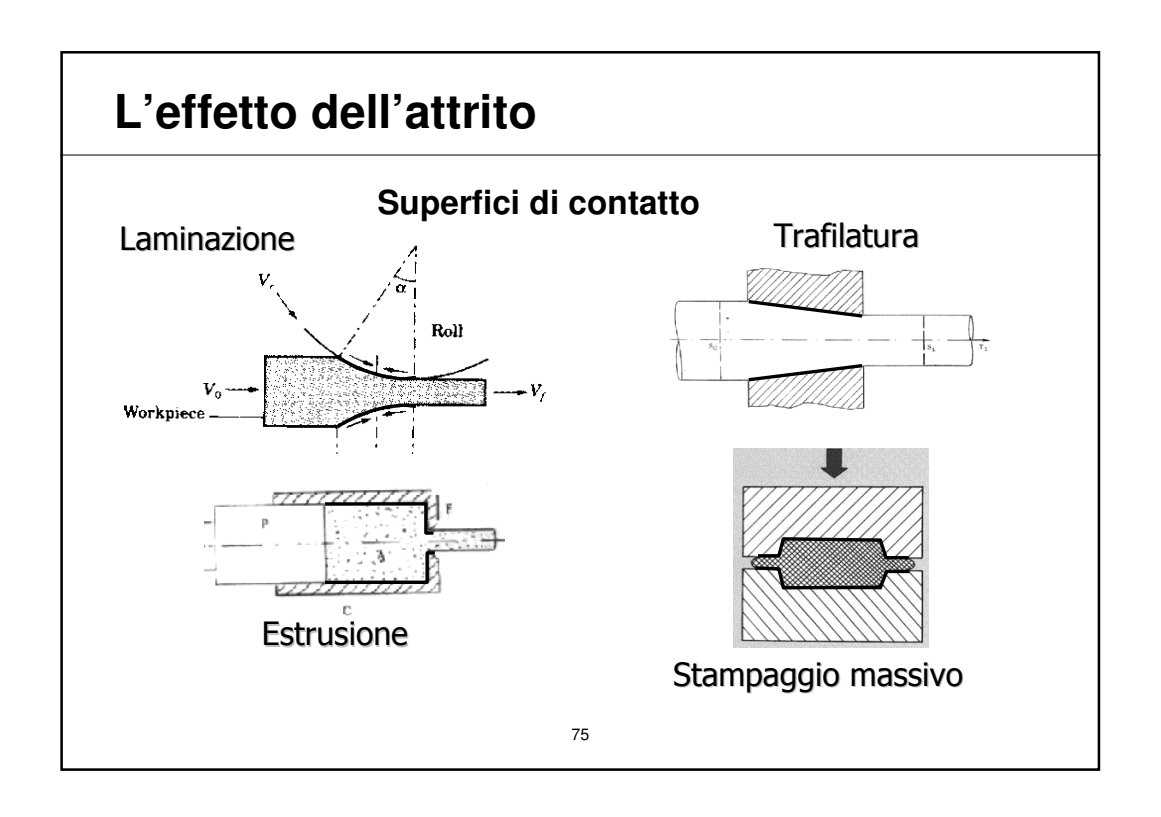
Leggi di flusso plastico: condizione di instabilità plastica



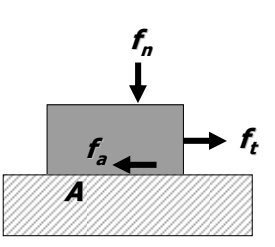
All'aumentare di n, aumenta la pendenza delle curve ed aumenta la formabilità

# Influenza del coefficiente di incrudimento sulla strizione n=0.2 n=0.6 TRE DEFORM SANLATION NUMBERI CENSIONE DI C









$$\tau_a = \frac{f_a}{A}$$

$$f_t$$

$$\tau_{t} = \frac{f_{t}}{A}$$

 $\sigma_n = \frac{f_n}{A}$ 

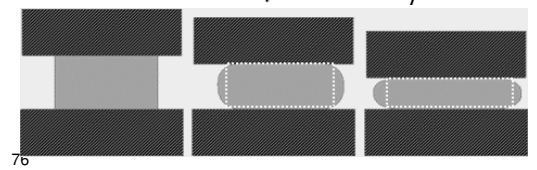
Questi sono solo stress apparenti poiché l'area di contatto reale è sempre molto inferiore all'area nominale, per via delle asperità delle superfici

# Le forze di attrito dipendono da:

- Pressione di contatto
- Velocità relativa
  - Attrito statico e dinamico
- Materiali
- Rugosità
- Lubrificanti
- Temperatura
- Cambiamento di forma delle superfici

### L'effetto dell'attrito

- limita il flusso nelle zone vicine al contatto
- ha un effetto distorcente, aumenta  $L_r$



# L'ATTRITO

Si possono impiegare due modelli diversi per i fenomeni di attrito tra corpi deformabili

Il modello Coulombiano – coefficiente di attrito f

$$\tau_{att} = f \cdot \sigma_n$$

L'attrito dipende dalla sollecitazione normale  $\sigma_n$ 

Il modello ad attrito costante – fattore di attrito m

$$\tau_{att} = m \cdot \tau_{max} \qquad 0 < m \le 1$$

Ove  $au_{\max}$  è la massima sollecitazione tangenziale sopportabile dal materiale.

Il valore di  $\tau_{max}$  si può ottenere dalla relazione di Von Mises per uno stato di sforzo in cui sia diversa da zero solamente una  $\tau$ , e vale  $\tau_{max} = \frac{\sigma_0}{\sqrt{3}}$ 

77

# L'attrito

# **Modello di Coulomb**

$$f_a = \mu \cdot f_n$$
Coefficiente d'attrito
$$\tau_a = \mu \cdot \sigma_n$$

$$|\tau_a|_{\tau_{\text{max}}}$$

$$\tau_a = \tau_a \cdot \sigma_n$$

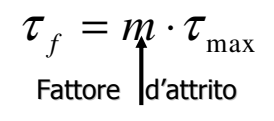
- Il modello vale solo quando le pressioni in gioco non sono molto elevate
- Nel metal forming, le pressioni sono invece spesso elevate, e in questo caso le caratteristiche dei materiali dovrebbero entrare nel modello
- In particolare  $au_a$  non può essere maggiore della resistenza massima a taglio  $au_{max}$  del materiale più tenero

# L'attrito

# Modello del massimo sforzo di taglio

(di Tresca)

 $au_a$ 



 $au_{a}$  non può essere maggiore della resistenza massima a taglio  $au_{max}$  del materiale più tenero

Secondo Von Mises

$$\tau_{\max} = \frac{\overline{\sigma}}{2}$$

Secondo Tresca

$$\tau_{\rm max} = \frac{\bar{\sigma}}{\sqrt{3}}$$

 $au_a$  secondo Tresca

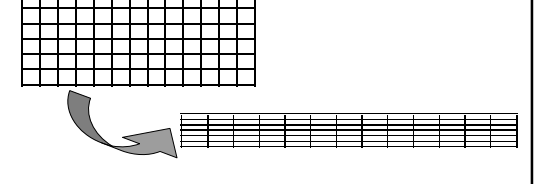
79

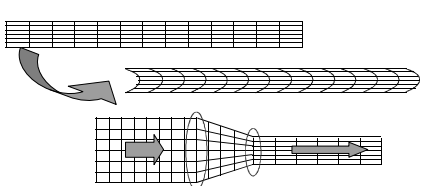
reale

# ASPETTI ENERGETICI

In termini del tutto generali la potenza esterna usata nelle lavorazioni per deformazione plastica viene utilizzata per:

- <u>deformare</u>: se idealmente disegnassimo una griglia nel materiale e lo deformassimo uniformemente avremmo una deformazione parallelepipeda in cui le sezioni non cambiano la propria forma.
- <u>distorcere</u>: alcune sezioni cambiano la propria forma (o in maniera permanente o in modo tale da portare alla sola deformazione)
- <u>vincere gli attriti</u>: lo strisciamento del materiale contro gli utensili genera attrito.





La potenza di distorsione e quella dissipata in attrito sono tra loro legate: se non esistesse attrito non vi sarebbe neanche distorsione

# ASPETTI ENERGETICI

Il lavoro speso viene dunque distinto in:

# • LAVORO IDEALE O PARALLELEPIPEDO

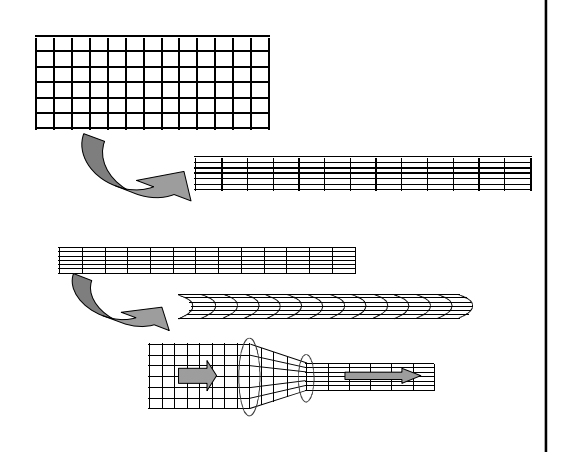
• per deformare uniformemente

### • LAVORO RIDONDANTE

• per distorcere

### • LAVORO D'ATTRITO

 per vincere gli attriti: lo strisciamento del materiale contro gli utensili genera attrito.

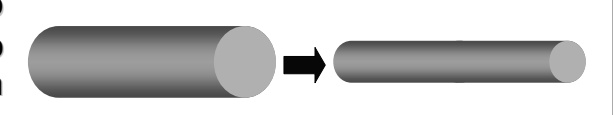


81

# Lavoro di deformazione plastica

$$L_{\rm g} = L_{\rm i} + L_{\rm r}$$
 Il lavoro globale di deformazione si può scomporre in 2 componenti

 $L_i$  = Lavoro **ideale** o parallelepipedo: minimo necessario a compiere la deformazione





 $L_r$  = Lavoro interno **ridondante**, usato per deformare il materiale oltre il minimo indispensabile, detto anche lavoro di distorsione

# Lavoro di deformazione plastica

$$L_{tot} = L_a + L_g = L_a + L_i + L_r$$

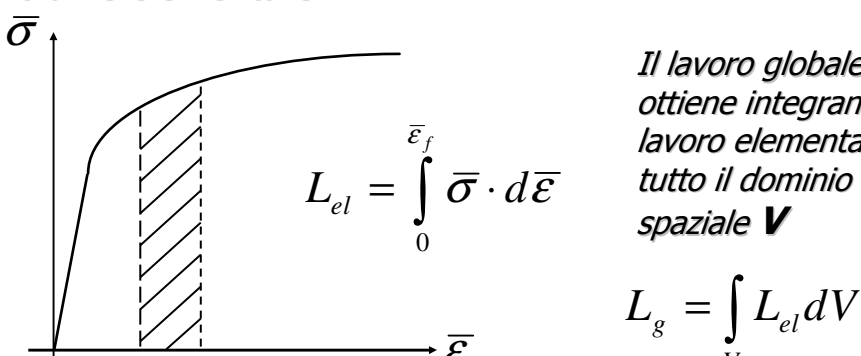
In realtà, il lavoro effettivamente speso deve tener conto anche del lavoro dissipato in attrito La

 $\eta = \frac{L_i}{L_{tot}}$ Rendimento della lavorazione plastica

È bene osservare che, alla fine, quasi tutto il lavoro speso viene comunque trasformato in calore. Solo una piccola parte viene immagazzinata dai cristalli

# Lavoro di deformazione plastica

Lavoro elementare di deformazione, cioè di un volume elementare



Il lavoro globale si ottiene integrando il lavoro elementare su

$$L_{g} = \int_{V} L_{el} dV$$

# Lavoro di deformazione plastica

$$\overline{\sigma} = k \cdot \overline{\varepsilon}^n$$

$$L_{el} = \int_{0}^{\overline{\varepsilon}_{f}} \overline{\sigma} \cdot d\overline{\varepsilon} = K \int_{0}^{\overline{\varepsilon}_{f}} \overline{\varepsilon}^{n} \cdot d\overline{\varepsilon}$$

$$L_{el} = K \cdot \frac{\overline{\varepsilon}^{n+1}}{n+1} = \frac{K\overline{\varepsilon}^{n}}{n+1} \cdot \overline{\varepsilon} = \frac{\overline{\sigma}}{n+1} \cdot \overline{\varepsilon} = Y_{f} \cdot \overline{\varepsilon}$$

$$\overline{\sigma} = C \cdot \dot{\overline{\varepsilon}}^m$$

Lavorazioni a caldo 
$$\overline{\sigma} = C \cdot \dot{\overline{\mathcal{E}}}^m$$
 media di flusso  $\overline{\mathcal{E}} = C \cdot \dot{\overline{\mathcal{E}}}^m$  
$$L_{el} = \int\limits_0^{\overline{\mathcal{E}}_f} \overline{\sigma} \cdot d\overline{\mathcal{E}} = \overline{\sigma} \int\limits_0^{\overline{\mathcal{E}}_f} d\overline{\mathcal{E}} = \overline{\sigma} \cdot \overline{\mathcal{E}}$$